


UNIVERSITÉ PARIS I
PANTHÉON SORBONNE
OMNIBUS SAPIENTIA UNICUIQUE EXCELLENTIA

Institut de démographie



IDUP

Cours d'analyse démographique 2 (Modèles de populations)

Diplôme : Master de démographie

Chapitre 9

Fécondité et comportement procréateur: approche de modélisation

"As mortality in the world declines, fertility becomes, more and more, the primary determinant of population growth and structure. Recognition of this situation has spurred interest in documenting levels of fertility and causes of changes in birth rates throughout history and in investigating how rates might change in the future."

Jane A. Menken "Biometric Models of Fertility", *Social Forces*, Vol. 54, No. 1 (Sep., 1975), pp. 52-65

- I. Modèles basés sur la théorie du cycle de vie et de reproduction
(« modèles de composants »)
- II. Modèles de distribution par âge de la nuptialité et de la fécondité

Cours « Modèles de populations » par Alexandre Avdeev, IDUP (Master de démographie)

1

I. Modèles basés sur la théorie du cycle de vie et de reproduction (« modèles de composants »)

facteur de la fécondité; fécondité en mariage et fécondité « générale »;
prise en considération de la variation du comportement en fonction de l'âge; limitation délibérée de naissances (planification familiale); « Indices de Coale » (ou indices de Princeton) et leur application aux recherches historiques; déterminants intermédiaires de la fécondité: approche agrégée et par âge

Cours « Modèles de populations » par Alexandre Avdeev, IDUP (Master de démographie)

2

Première approche : indices de réduction de la fécondité

Une décomposition du nombre de naissances de la période t :

Soit :

$B(t)$ – nombre de naissances de l'année t ;

$W(t)$ – nombre de femmes 15-49 de l'année t (population exposée = nombre d'années vécues) ;

$M(t)$ – nombre de femmes mariées 15-49 de l'année t (nombre d'années vécues en mariage) ;

$O(t)$ – nombre de mères âgées (femmes ayant au moins un enfant) de 15 à 50 ans de l'année t ;

$$B(t) = W(t) \cdot \frac{M(t)}{W(t)} \cdot \frac{O(t)}{M(t)} \cdot \frac{B(t)}{O(t)} \quad (1)$$

Le nombre de naissance est un produit de :

- d'un nombre de femmes âgées de 15 à 50 ans (l'effet de la structure par âge) ;
- d'une proportion de femmes mariées de 15-49 ans (l'effet de la nuptialité) ;
- d'une proportion de mères mariées de 15-49 ans (les effets du calendrier de naissances et de l'infécondité) ;
- d'un nombre moyen de naissance par une mère (proportion, des mères qui ont eu une naissance durant l'année en question ajustée des naissances multiples → capte l'effet de la fécondation)

Une image de la fécondité des années 1950 : toutes les naissances sont les produits des mariages.

Un de premier exemple d'analyse exhaustive de la fécondité :

W.H. Grabill, C.V.Kiser, P.K.Welpton (1958) *The Fertility of American Women*. NY : John Wiley & Sons, NY; Capman & Hall, London. (Census monograph series), 448 p.

Cours « Modèles de populations » par Alexandre Avdeev, IDUP (Master de démographie)

3

3

Développement du modèle (1) aux fins explicatives et des prévisions

Soit :

$B(t)$ – nombre de naissances de l'année t ;

$W(t)$ – nombre de femmes 15-49 de l'année t (population exposée = nombre d'années vécues) ;

$M(t)$ – nombre de femmes mariées 15-49 de l'année t (nombre d'années vécues en mariage) ;

$O(t)$ – nombre de mères âgées (femmes ayant au moins un enfant) de 15 à 50 ans de l'année t ;

$$B(t) = W(t) \cdot \frac{M(t)}{W(t)} \cdot \frac{O(t)}{M(t)} \cdot \frac{B(t)}{O(t)} \Rightarrow B(t) = W(t) \cdot I_m(t) \cdot I_i(t) \cdot I_{fm}(t)$$

I_m – Indice de la nuptialité (de proportion des mariées/en couple = indice d'exposition)

I_i – Indice de l'infécondité (la proportion de femmes effectivement fécondes)

I_{fm} – Indice de fécondité des mères

$$\text{soit } TFG = \frac{B(t)}{W(t)} \text{ taux de fécondité générale} \Rightarrow TFG(t) = I_m(t) \cdot I_i(t) \cdot I_{fm}(t)$$

$$\frac{TFG(t+1)}{TFG(t)} = \frac{I_m(t+1)}{I_m(t)} \cdot \frac{I_i(t+1)}{I_i(t)} \cdot \frac{I_{fm}(t+1)}{I_{fm}(t)}$$

Interprétation : la variation de la natalité s'explique par la variation des facteurs suivants :

- la nuptialité (exposition)
- l'infécondité (pathologique et volontaire)
- la fécondité des mères (taille idéale de la famille)

Version finale :

soit le Taux Brut de Natalité $\rightarrow TBN(t) = \frac{B(t)}{P(t)}$ et la proportion des femmes 15-49 ans $\rightarrow w(t) = \frac{W(t)}{P(t)}$

$$TBN(t) = TFG(t) \cdot w(t) \quad \frac{B(t+1)}{B(t)} = \frac{P(t+1)}{P(t)} \cdot \frac{w(t+1)}{w(t)} \cdot \frac{I_m(t+1)}{I_m(t)} \cdot \frac{I_i(t+1)}{I_i(t)} \cdot \frac{I_{fm}(t+1)}{I_{fm}(t)}$$

Cours « Modèles de populations » par Alexandre Avdeev, IDUP (Master de démographie), A.Avdeev © 2020

4

4

Prise en considération de la variation des mariages et des naissances par âge

Le modèle (1) repose sur **une hypothèse** sous-jacente **que la nuptialité et la fécondité par âge sont homogènes** et qu'il n'y a aucune interférence entre elles, ce que n'est pas toujours vrai.

En effet, **les mariages pourraient être plus féconds dans les âges où ils sont rares** (âges jeunes), et **moins féconds dans les âges où les mariages son universels** (après 40 ans). Pour surmonter l'inconvénient de cette hypothèse (homogénéité) il faudrait introduire une notion d'âge dans le modèle

Soit:

la fécondité hors mariage = 0

x – l'âge continu ($x \in \mathbb{Z} \geq 0$); n – intervalle d'âge ($x \in \mathbb{N}$)

${}_nG_x$ – la proportion des femmes mariées dans l'intervalle d'âge de x à $x+n$

${}_nf_x^L$ – taux de fécondité « légitime » (des femmes mariées)

TFT – taux de fécondité totale (indice synthétique de fécondité)

TFTM – taux de fécondité totale en mariage

Sachant que ${}_nf_x = {}_nf_x^L \cdot {}_nG_x$

$$\frac{TFT}{TFTM} = \frac{n \cdot \sum_{x=a}^{\beta} {}_nf_x^L \cdot {}_nG_x}{n \cdot \sum_{x=a}^{\beta} {}_nf_x^L} = \sum_{x=a}^{\beta} \left(\frac{{}_nf_x^L}{\sum_{x=a}^{\beta} {}_nf_x^L} \right) \cdot {}_nG_x = I_g \quad (2)$$

Dans ce modèle (2) le rapport **TFT/TFTM** n'est qu'une **proportion moyenne des femmes mariées pondérée** par les taux de la fécondité en mariage/par les éléments de calendrier

Ainsi on peut présenter le niveau de fécondité (**TFT**) comme le produit (une fonction) du niveau de la fécondité des mariages (**TFTM**) et du niveau de la nuptialité (I_g).

L'interférence entre les structures de la fécondité et de la nuptialité par âge \rightarrow **TFT = TFTM · I_g** est intégrée dans ce modèle.

Cours « Modèles de populations » par Alexandre Avdeev, IDUP (Master de démographie)

5

COMPOSANT DE VARIATION DE LA FÉCONDITÉ LORS DE LA TRANSITION DÉMOGRAPHIQUE

PROJET DE PRINCETON ET LES INDICES DE COALE

Cours « Modèles de populations » par Alexandre Avdeev, IDUP (Master de démographie)

6

Approche relationnelle et développement du modèle avec la prise en considération du comportement procréateur : **Indices de Coale ou de Princeton**

Coale, Ansley J. (1969) – «The decline of Fertility in Europe from the French Revolution to World War II» in S.B.Behrman, L.Corsa and R.Freedman, eds., *Fertility and Family Planning: A World View*. Ann Arbor: University of Michigan Press

Coale, Ansley J.; Watkins, Susan Cotts [editors]. *The Decline of Fertility in Europe: the Revised Proceedings of a Conference on the Princeton European Fertility Project*. Princeton University Press, 1986.

Problème : quantifier (mesurer) la réduction générale de la fécondité et des ses facteurs

Approche : décomposition avec une standardisation indirecte (comparer avec un standard)
soit

- 1) B – le nombre (annuel) de naissance dans une population observée
- 2) W_i – la distribution par âge (i) des femmes (W) dans cette population
- 3) f_i – la densité de distribution de la fécondité (taux par âge) dans cette population
- 4) H_i – une distribution de la fécondité étalon supposée d'être maximale (fécondité type dans la communauté **Huttérite** ou des femmes canadiennes de XVII siècle)

Solution : on mesure le degré de la réduction de la natalité comme un rapport entre le nombre de naissances enregistrées et celui maximal possible ➔

$$I_f = \frac{B}{B_{\max}} \rightarrow I_f = \frac{B}{\sum_{x=1}^I H_i \cdot W_i} = \frac{\sum_{x=1}^I f_i \cdot W_i}{\sum_{x=1}^I H_i \cdot W_i} \quad \text{Indice de fécondité générale} \quad (3)$$

(plutôt l'indice des naissances standardisée par âge)

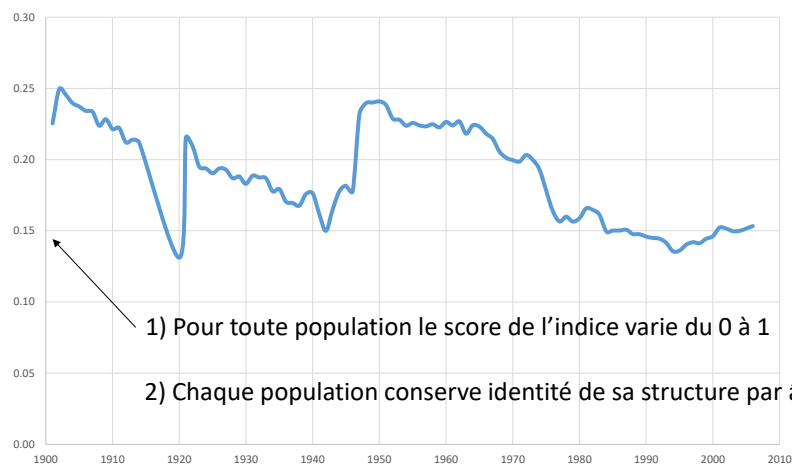
Cours « Modèles de populations » par Alexandre Avdeev, IDUP (Master de démographie)

7

7

Dynamique de l'indice de la fécondité générale en France 1901-2006

Faudrait-il dire en français : « indice générale de réduction de la natalité » ?



Cours « Modèles de populations » par Alexandre Avdeev, IDUP (Master de démographie)

8

8

Indices de Coale (suite) :**Introduction de la limitation délibérée des naissances en mariage**

Soit

- 1) B^L – le nombre (annuel) de naissance légitimes (en mariage) dans une population observée
- 2) W_i^L – la distribution par âge des femmes mariées dans cette population
- 3) f_i^L – la densité de la fécondité légitime dans cette population (taux de fécondité)
- 4) H^L – une densité de la fécondité supposée d'être maximale dans une population de référence (Huttérite, femmes canadiennes de XVII siècle, etc.)
- 5) la fécondité hors mariage = 0 dans la population observée

$$\text{Alors } \rightarrow \sum_{i=1}^I f_i \cdot W_i = B = B^L = \sum_{i=1}^I f_i^L \cdot W_i^L$$

et on peut réécrire l'équation (3)

$$I_f = \frac{\sum_{i=1}^I f_i^L \cdot W_i^L}{\sum_{i=1}^I H_i \cdot W_i^L} \times \frac{\sum_{i=1}^I H_i \cdot W_i^L}{\sum_{i=1}^I H_i \cdot W_i} = I_g \cdot I_m$$

Indice de fécondité générale est donc décomposé comme un produit de **l'indice de fécondité légitime** (I_g) et **l'indice de proportion des mariées** (I_m)

Cours « Modèles de populations » par Alexandre Avdeev, IDUP (Master de démographie)

9

9

Ajustement des naissances hors mariage 'naissances illégitimes'

On imagine l'indice de fécondité générale comme une moyenne de l'indice de fécondité légitime (I_g) et l'indice de fécondité illégitime (I_h) pondérés par l'indice de proportion des femmes mariées (I_m)

$$I_f = I_g \cdot I_m + I_h \cdot (1 - I_m)$$

où l'indice de fécondité illégitime est un rapport entre les nombres observé et espéré des naissances hors mariage :

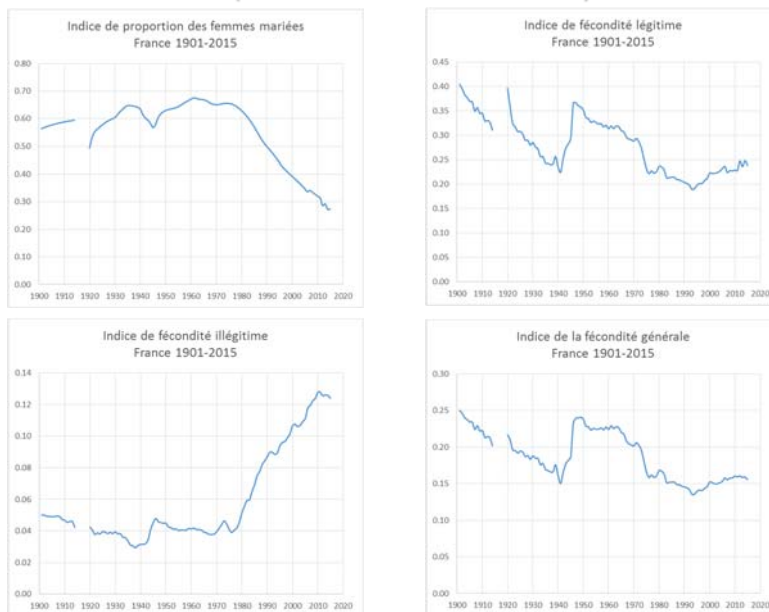
$$I_h = \frac{B - B^L}{\sum_i H_i \cdot (W_i - W_i^L)}$$

Cours « Modèles de populations » par Alexandre Avdeev, IDUP (Master de démographie)

10

10

Facteurs de la dynamique de fécondité en France en 1901-2015 (en termes des indices de Coale)

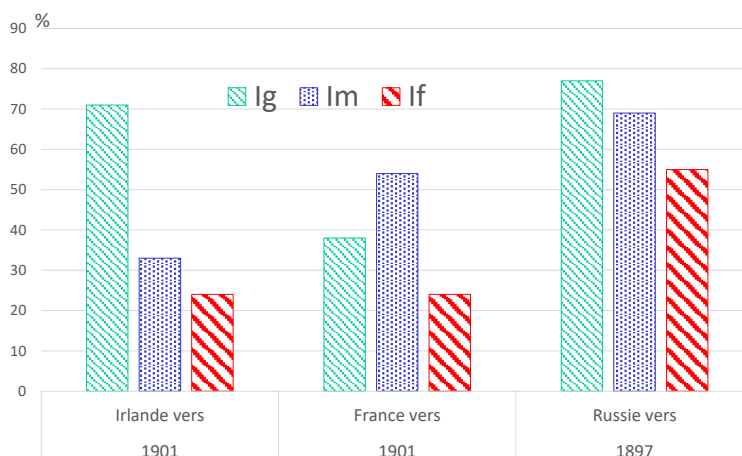


Cours « Modèles de populations » par Alexandre Avdeev, IDUP (Master de démographie)

11

11

Trois situations (« stratégies »), illustrées par les indices de Princeton



Source: Van de Walle, « Nouvelles attitudes devant la vie: la limitation des naissances. » //HPE, v.2,p.151

Cours « Modèles de populations » par Alexandre Avdeev, IDUP (Master de démographie)

12

12

Indices de Coale (récapitulatif)

$$I_f = I_g \cdot I_m + I_h \cdot (1 - I_m)$$

indice de la fécondité générale

$I_f = \frac{\text{Nombre total des naissances}}{\text{Nombre espéré des naissances}}$

indice de la nuptialité

$I_m = \frac{\text{Nombre espéré des naissances "légitimes"}}{\text{Nombre espéré des naissances}}$

indice de la fécondité légitime

$I_g = \frac{\text{Nombre des naissances "légitimes"}}{\text{Nombre espéré des naissances "légitimes"}}$

indice de la fécondité illégitime

$I_h = \frac{\text{Nombre des naissances "illégitimes"}}{\text{Nombre espéré des naissances chez les femmes non mariées}}$

« Nombre espéré » est celui qui pourrait observé en absence de toute limitation volontaire de naissances

Cours « Modèles de populations » par Alexandre Avdeev, IDUP (Master de démographie)

13

13

Exemple : Hubert Charbonneau (1970) *Tourouvre-au-Perche aux XVIIe et XVIIIe siècles*, Paris, PUF

| i | Age | W^L_i | W_i | H_i | $(H_i) \times (W^L_i)$ | $(H_i) \times (W_i)$ |
|---|-------|---------|-------|-------|------------------------|----------------------|
| 1 | 15-19 | 1 | 73 | 0.300 | 0.3 | 21.9 |
| 2 | 20-24 | 19 | 87 | 0.550 | 10.5 | 47.9 |
| 3 | 25-29 | 33 | 49 | 0.502 | 16.6 | 24.6 |
| 4 | 30-34 | 58 | 66 | 0.447 | 25.9 | 29.5 |
| 5 | 35-39 | 48 | 56 | 0.406 | 19.5 | 22.7 |
| 6 | 40-44 | 42 | 56 | 0.222 | 9.3 | 12.4 |
| 7 | 45-49 | 37 | 51 | 0.061 | 2.3 | 3.1 |
| | | | | Somme | 84.3 | 162.1 |

Nombre de naissance en 1801 (B = 59)

$I_f = \frac{59}{162,1} = 0,364 ;$

On voit que $I_f = I_g \times I_m = 0,7 \times 0,52 = 0,364$

$I_g = \frac{59}{84,3} = 0,700 ;$

$I_m = \frac{84,3}{162,1} = 0,520$

Exercice : 1) calculez le taux de fécondité totale dans la population standard ;

2) commentez le comportement procréateur dans ce village en 1801

Le nombre de naissances observé est réduit de 64% par rapport à celui qu'on pourrait espérer observer en absence de toute limitation des naissances, qu'elle soit par mariage ou par utilisation des moyens de prévention des naissances.

On voit que le poids de réduction de la nuptialité est plus important que celui de limitation de taille de famille (plus le score de indice est proche à 1, moins son influence est important. Ici le poids de la nuptialité est 65% et le poids de la limitation volontaire de naissance est 35%.

Cours « Modèles de populations » par Alexandre Avdeev, IDUP (Master de démographie)

14

14

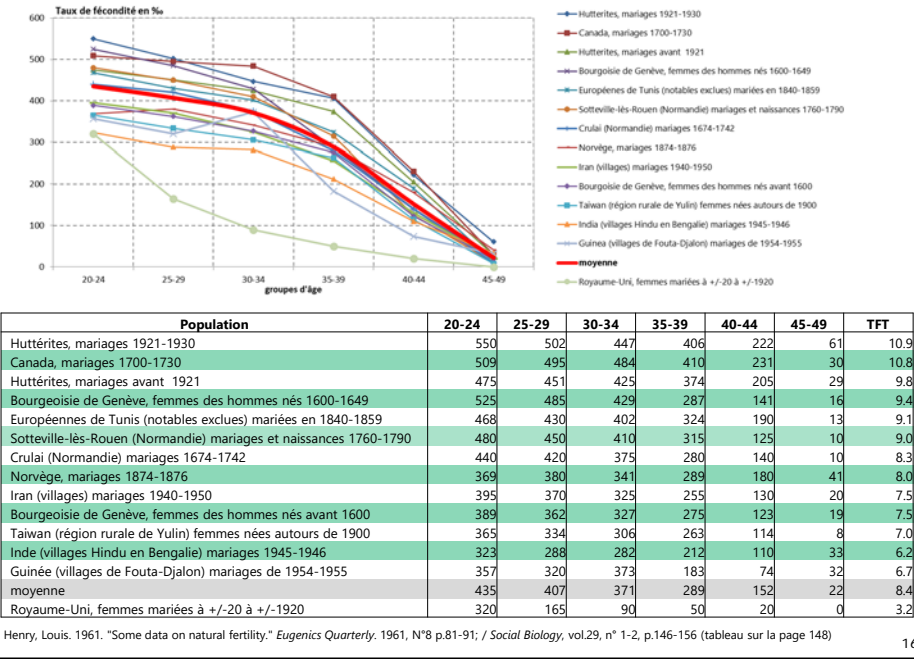
NOTION DE LA FÉCONDITÉ « NATURELLE » ET LES PROBLÈMES DE SON ESTIMATION À PARTIR DES OBSERVATIONS ET DONNÉES HISTORIQUES

« Parmi les problèmes de la démographie celui de la détermination de la fécondité naturelle, c'est-à-dire de la fécondité qu'aurait telle population humaine si elle ne faisait aucun effort conscient pour limiter les naissances, est l'un des plus intéressants et l'un des plus difficiles »

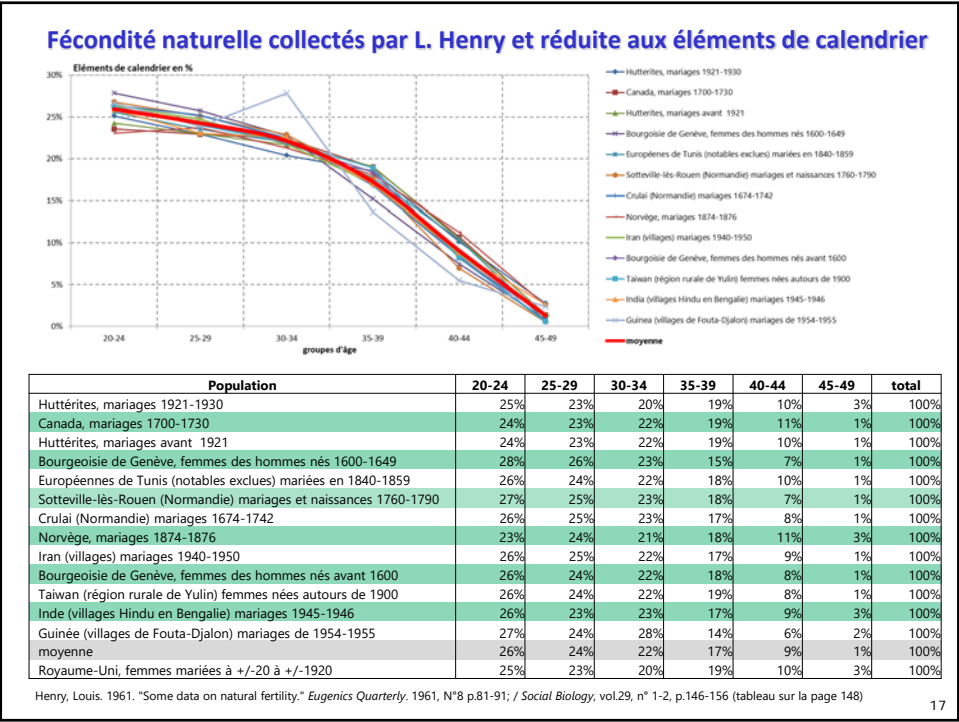
Louis Henry, 1953

15

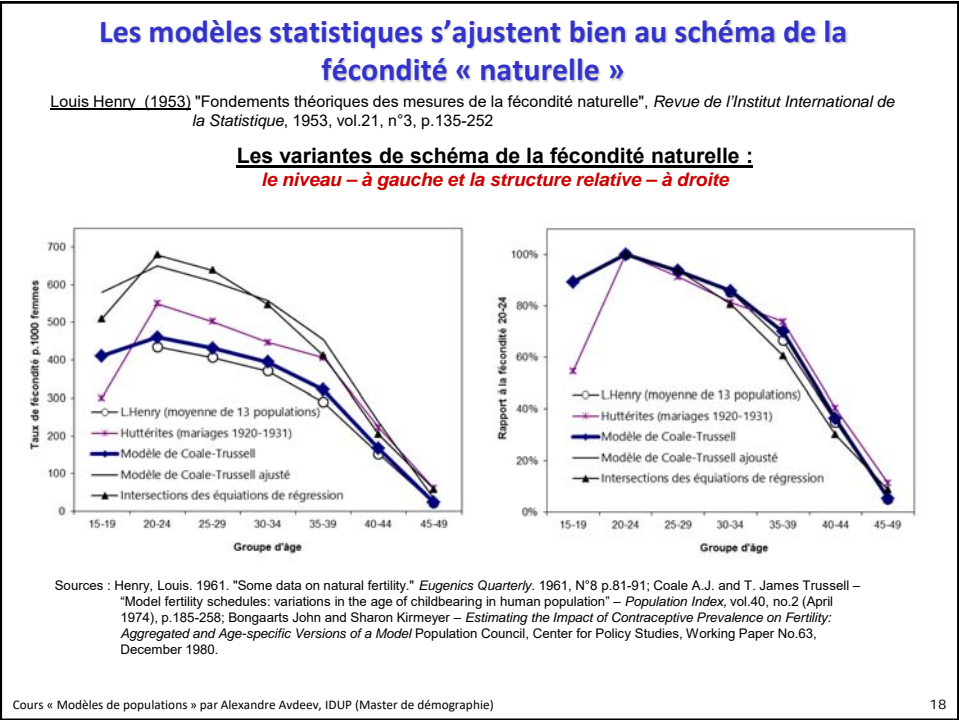
Taux de fécondité naturelle historique collectés par L. Henry



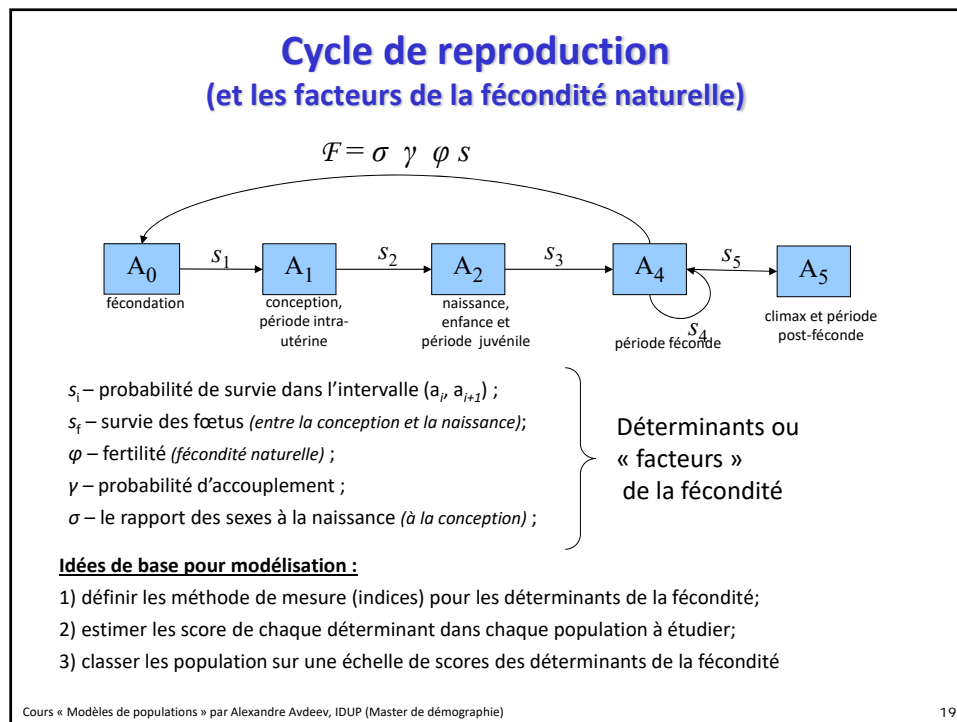
16



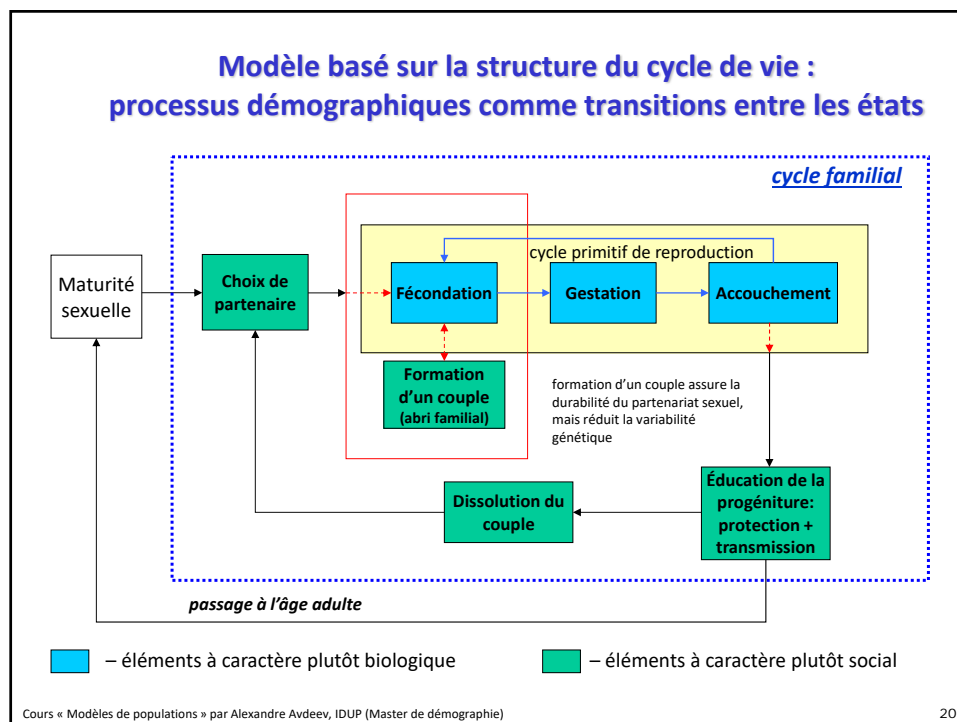
17



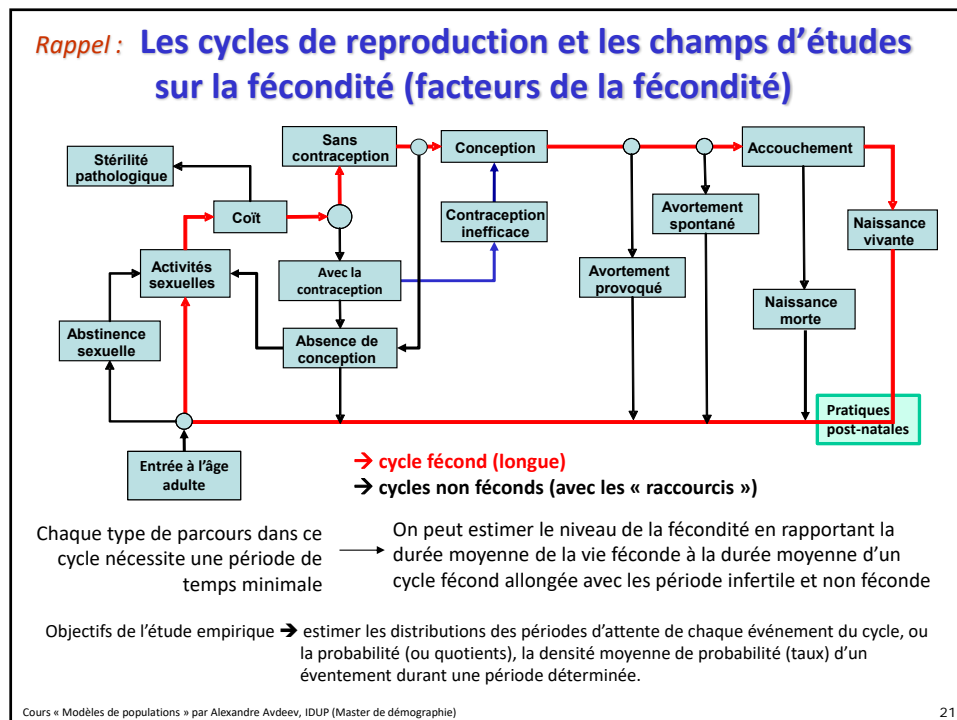
18



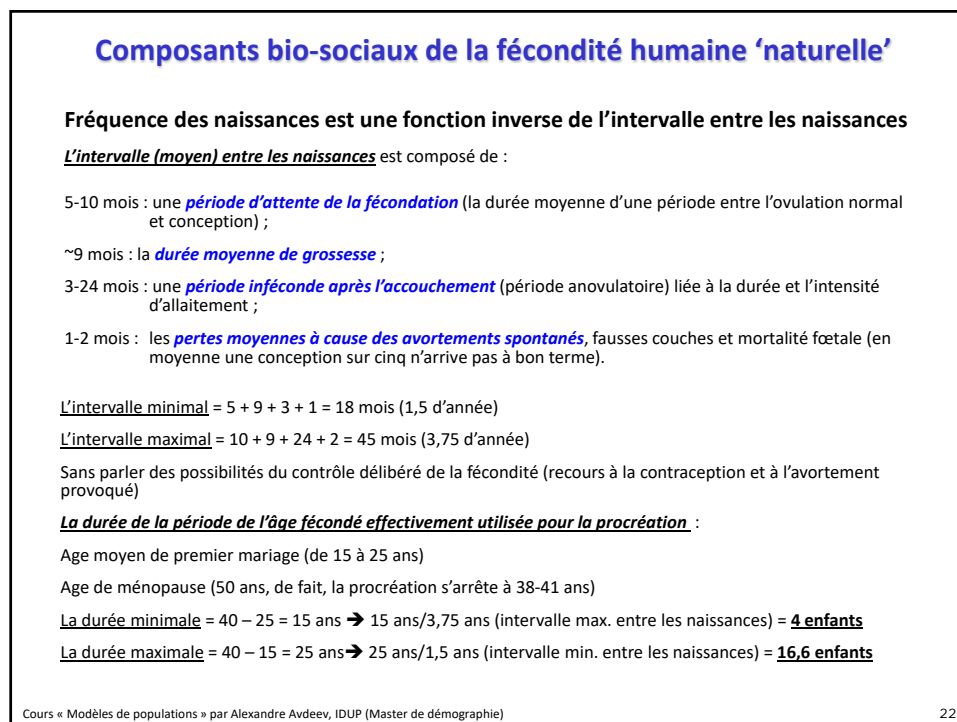
19



20



21



22

Cadre théorique initiale de la décomposition

Kingsley Davis and Judith Blake (1956) – « Social Structure and Fertility: An Analytic Framework »
Economic Development and Cultural Change, Vol. 4, no 3, (Apr., 1956), p.211-235

Déterminant indirects

Variables
socioéconomique,
culturelles et
environnementales*



Déterminant directs

Variables
intermédiaires de
la fécondité



Fécondité



- I. Facteurs affectant l'exposition aux rapports sexuels (« Intercours variables / variables de rapports »)
- II. Facteurs affectant l'exposition à la conception (« Variables de conception »)
- III. Facteurs affectant la gestation et le succès de la accouchement (« Variables de gestation »)

*) Revue historique : approches bio-sociale de Gerbert Spenser (1820-1903), cf. *Principles of Biology*, 1864 2 volumes ;
 « capillarité sociale » d'Arsène Dumont (1849-1902) cf. *Dépopulation et civilisation*, 1890

Cours « Modèles de populations » par Alexandre Avdeev, IDUP (Master de démographie)

23

23

I. Facteurs affectant l'exposition aux rapports sexuels (intercours variables) :

- A. Facteurs déterminant la formation et la dissolution des union durant aux âges reproductifs :
 - 1) Age de début des unions sexuelles
 - 2) Célibat définitif (proportion des femmes n'ayant jamais aucun rapport sexuel)
 - 3) Partie de la période reproductive dépensée entre les unions et après les unions
 - a. Quand les unions se terminent par le divorce, la séparation ou la désertassions
 - b. Quand les unions se terminent par le décès d'un des conjoints
- B. Facteurs de l'exposition aux rapports sexuels au sein des unions :
 - 4) Abstinence volontaire
 - 5) Abstinence involontaire : impuissance, maladies, séparations inévitables mais temporaires
 - 6) Fréquence des rapports sexuels (en dehors des périodes d'abstinence)

De fait, il s'agit d'estimation du nombre d'années vécues sous le risque de conception

Cours « Modèles de populations » par Alexandre Avdeev, IDUP (Master de démographie)

24

24

II. Facteurs affectant l'exposition à la conception (variables de conception) :

- 7) Fertilité versus l'infécondité involontaire (dépend de l'état de santé)
- 8) Recours ou non recours aux méthodes de contraception :
 - a. Méthodes mécaniques et chimiques
 - b. Autres méthodes (p.ex. « méthodes naturelles », retrait, toute sorte de simulation sans pénétration etc.)
- 9) Fertilité et infécondité volontaire (stérilisation, subincision, traitement médical etc.)

III. Facteurs affectant la gestation et le succès de la parturition (variables de gestation) :

- 10) Mortalité fœtale spontanée (involontaire)
- 11) Mortalité fœtale provoquée (volontaire)

Variables intermédiaires

(une modification instrumentalisée de John Bongaarts) :

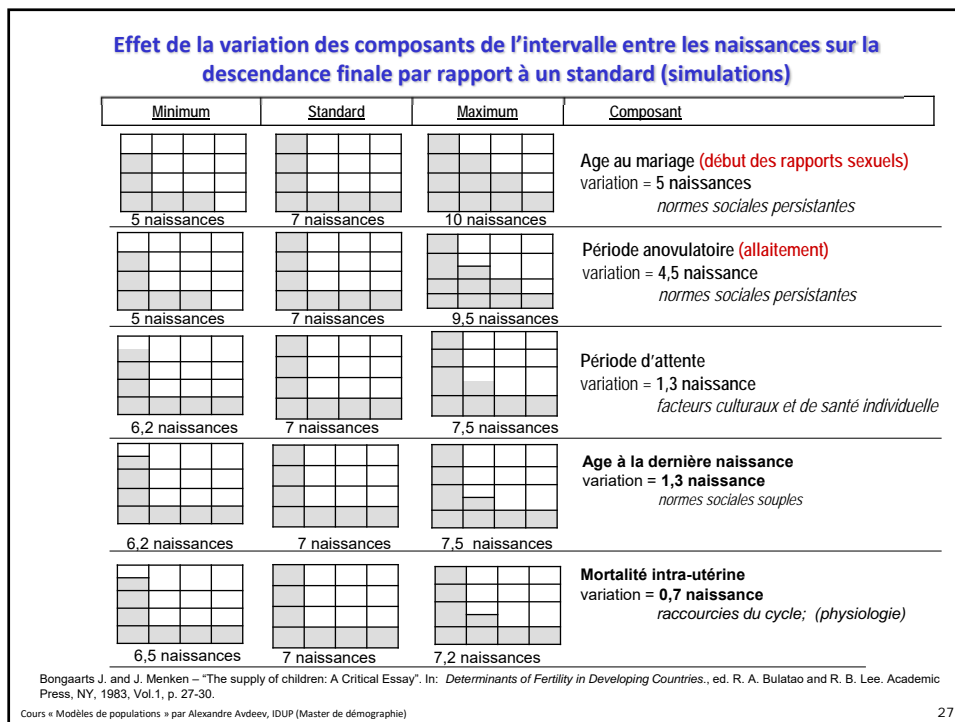
Bongaarts, John (1978) "A Framework for Analyzing the Proximate Determinants of Fertility"
Population and Development Review, Vol.4, no 1, (March 1978), p.105-138

Onze variables interprétables initiales sont réduites à huit variable « mesurables » :

- I. Facteurs d'exposition :
 1. Proportion de femmes mariées (mariage = toute union sexuelle)
- II. Contrôle délibéré de la fécondité :
 2. Contraception
 3. Avortements provoqués
- III. Facteurs de la fécondité naturelle :
 4. Infécondité post-partum (récupération et allaitement)
 5. Fréquence des rapports sexuels
 6. Stérilité (infécondité)
 7. Mortalité intra-utérine spontanée
 8. Durée de la période fertile

Les facteurs « majeurs »
(à étudier en priorité)
sont ceux qui expliquent
plus de variation du
niveau de fécondité

Cette approche a cependant été déjà conçue et développée par L.Henry et H.Leridon. Voir notamment
Leridon, Henri (1973) *Aspects biométriques de la fécondité humaine*. - (INED série "Travaux et documents" ; Cahier n° 65), Paris : PUF. , XII-184 p.



27

Modèles de comportement procréateur et les niveaux de fécondité

| # | Naissance par femme | Espace utilisée | Caractéristiques bio-sociales | Population | Populations historiques |
|---|---------------------|-----------------|--|---|-------------------------------------|
| 1 | 16 | 100% | Maximum biologique | Théorique | Aucune (cas individuels) |
| 2 | 11,4 | 71% | Mariages précoces, intervalles minimales | Certains groupes isolés | Français canadiens nés avant 1660 |
| 3 | 9 | 56% | Mariages tardifs, intervalles minimales | Certains groupes isolés | Huttérites canadiens, 1926-30 (8,5) |
| 4 | 7,5 | 47% | Mariages précoces, intervalles longs | Beaucoup de population des pays en voie de développement | Égypte, 1960-65 (7,1) |
| 5 | 7 | 44% | Standard (Moyenne) | --- | --- |
| 6 | 5 | 31% | Mariages tardifs, intervalles longs | Beaucoup de populations européennes en XVIII-XIX ^e s. | Angleterre 1751-1800 (5,1) |
| 7 | 3 | 19% | Contrôle délibéré des naissances (diffusion moyenne) | Populations européennes de la première moitié du 20 ^e siècle | Italie, 1937 (3,0) |
| 8 | 1 | 6% | Contrôle délibéré des naissances (diffusion totale) | Quelques populations européennes contemporaines | Ligurie (Italie), 1990 (1,0) |

Cours « Modèles de populations » par Alexandre Avdeev, IDUP (Master de démographie)

28

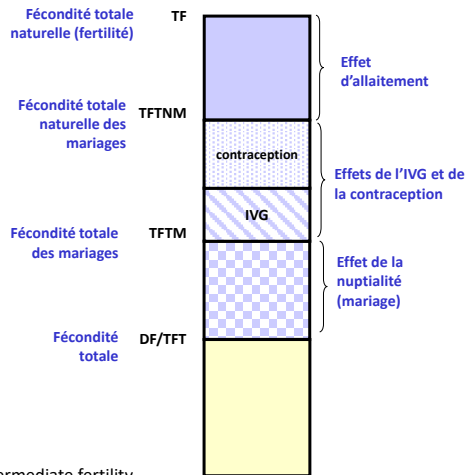
Facteurs comportementaux inhibiteurs de la fécondité humaine

TABLE 1 Rating of intermediate fertility variables with respect to sensitivity of fertility and variability among populations

| Intermediate fertility variables | Sensitivity of fertility to intermediate variables | Variability among populations | Overall rating |
|------------------------------------|--|-------------------------------|----------------|
| Proportions married | +++ | +++ | +++ |
| Contraceptive use | +++ | +++ | +++ |
| Prevalence of induced abortion | ++ | +++ | +++ |
| Postpartum infecundability | ++ | +++ | +++ |
| Fecundability | ++ | ++ | ++ |
| Spontaneous intrauterine mortality | + | + | + |
| Permanent sterility | ++ | + | + |

Une variable est moins intéressante, voir sans intérêt, si elle n'affecte pas la fécondité (colonne 1), ou si elle ne varie que peu d'une population à l'autre (colonne 2). A partir ces deux critères, les variables sont classées selon leur utilité pour le modèle (colonne 3)

J. Bongaarts (1982), The fertility inhibiting effects of the intermediate fertility variables // *Studies in Family Planning*, 13, 6/7: p.180



Cours « Modèles de populations » par Alexandre Avdeev, IDUP (Master de démographie)

29

29

Déterminants intermédiaires de la fécondité :

Bongaarts, John (1978) "A Framework for Analyzing the Proximate Determinants of Fertility" *Population and Development Review*, Vol.4, no 1, (March 1978), p.105-138

Soit TFT – taux de fécondité totale (indice synthétique de fécondité, ou la descendance finale) ;
 FTM – taux de fécondité totale en mariage¹⁾ ;
 $FTNM$ – taux de fécondité totale naturel (en mariage);
 $maxFTN$ – fécondité maximale potentielle (il est supposé qu'elle est égale à 15, 3 enfants par femme).

$$TFT = \frac{TFT}{FTM} \cdot \frac{FTM}{FTNM} \cdot \frac{FTNM}{maxFTN} \cdot maxFTN \rightarrow$$

$$\rightarrow TFT = Cm \cdot (Cc \cdot Ca) \cdot Ci \cdot 15,3$$

¹⁾ mariage : = toute union sexuelle

Cours « Modèles de populations » par Alexandre Avdeev, IDUP (Master de démographie)

30

30

Modèle de Bongaarts déterminants intermédiaires de fécondité (DIF)

$$TFT = C_m \cdot C_c \cdot C_a \cdot C_i \cdot TFN$$

C_m – un indice de proportion de femmes mariées (indice d'exposition au risque de concevoir) ;

C_c – un indice mesurant l'impact d'utilisation délibérée de la contraception ;

C_a – un indice de l'avortement provoqués ;

C_i – un indice d'effet anticonceptionnel de l'allaitement ;

TFN – le taux de fécondité totale naturelle maximal ($\approx 15,3$)

Chaque indice peut varier du 0 (blocage total) à 1 (facteur absent)

Cours « Modèles de populations » par Alexandre Avdeev, IDUP (Master de démographie)

31

31

C_m = Proportion des mariées

L'effet inhibiteur de mariage se manifeste numériquement comme une proportion moyenne de femmes mariées pondérée par les taux de fécondité en mariage par âge.

$$C_m = \frac{TFT}{TFM} = \frac{\sum m(a) \cdot g(a)}{\sum g(a)}$$

$m(a)$ – proportion des mariées à l'âge a

$g(a)$ – fécondité des mariées à l'âge a

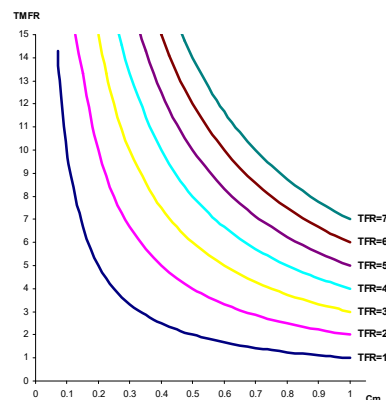
Cette *approche analytique* a été développée dans projet de Princeton (indice de Coale)

$$TFT = C_m \times TFM$$

Problèmes d'estimation :

- 1) Problème des conceptions pré-nuptiales et extra-nuptiales.
- 2) Données incertaines sur l'implication des personnes dans une union sexuelle ;
- 3) Statistique d'état civil n'est pas suffisante (multiplicité de formes des unions) ;

Rapport entre la fécondité générale (isoquants), la fécondité des unions (Y) et C_m (X)



Cours « Modèles de populations » par Alexandre Avdeev, IDUP (Master de démographie)

32

32

C_c = indice de la contraception (non utilisation de la contraception)

L'approche empirique : régression non linéaire à partir des données des enquêtes sur la fécondité.

$$C_c = 1 - 1,18 \cdot u \cdot e$$

u – une proportion des femmes utilisatrices de la contraception ;

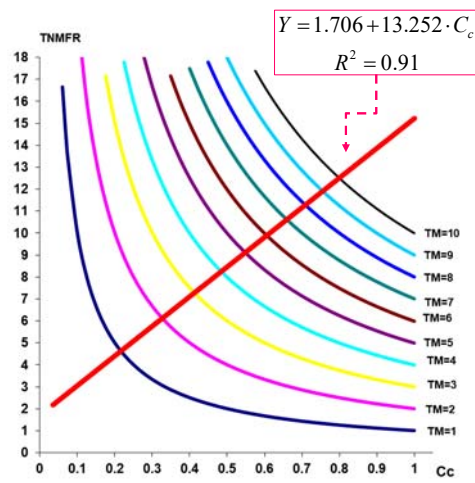
e – l'efficacité moyenne des méthodes de contraception utilisées;

$1,18 \cong 1/f$, où f est la proportion moyenne des femmes fécondes.

La définition de l'**efficacité de contraception** est un problème particulier. En générale elle est mesurée soit comme le taux d'échec (**indice de Pearl**, 1933), soit à partir de table d'extinction (échec de protection)...

$$TFT = C_m \cdot C_c \cdot TNFM$$

Rapport entre la fécondité en union (isoquants), la fécondité naturelle des unions (Y) et C_c (X)



Cours « Modèles de populations » par Alexandre Avdeev, IDUP (Master de démographie)

33

33

C_a = indice d'avortement

$$C_a = \frac{TFT}{TFT + A}$$

A – nombre de naissances évitées à cause de l'IVG par femme ;

TFT – taux de fécondité totale

TA – taux total des avortements ou indice synthétique des avortements = somme des taux des avortement par âge;

u – proportion des utilisatrices de moyens contraceptifs parmi les femmes exposées (prévalence de la contraception)

$$C_a = \frac{TFT}{TFT + 0,4 \cdot (1 + u) \cdot TA}$$

$0,4$ – le quotient de la durée d'un cycle court (avortement) sur la durée d'un cycle normale (naissances vivante)

Si $u = 0$ en absence des pratiques contraceptives, un avortement prévient 0,4 naissance (il faut 25 avortements pour éviter 10 naissances).

$$0,4 \cdot (1 + u) < 1$$

Ce multiplicateur exprimant « efficacité » d'un avortement est toujours inférieur à 1, [varie de 0,4 à 0,8] puisque la durée d'une grossesse terminée par un avortement est toujours plus courte que celle aboutissant à une naissance vivantes

$$TFT = C_m \times C_c \times C_a \times TNFM$$

Cours « Modèles de populations » par Alexandre Avdeev, IDUP (Master de démographie)

34

34

C_i = indice d'infécondité post-partum

Soit : 7,5 mois – la durée moyenne d'attente d'une conception

2,0 mois – les pertes moyennes de temps à cause des avortements spontanés etc. (rallonge moyenne d'un cycle féconde)

9,0 mois – la durée moyenne d'une grossesse efficace

1,5 mois – la durée moyenne de l'infécondité après accouchement (sans allaitement)

→ sans allaitement l'intervalle minimal entre les naissances = **7,5+2+9+1,5=20 mois**

Il y a une partie constante (~18.5) et une qui peut varier en fonction de l'allaitement (en rouge) →

$$C_i = \frac{20}{18,5 + i} \quad i - \text{la durée de l'infécondité post-partum (après l'accouchement) en mois}$$

Problème d'estimation de « i » : soit **L** la durée de l'allaitement, alors

$i = 1,5 + 0.56 \cdot L$ → Solution proposée par Carlo Cosini en 1977 lors d'un séminaire de l'IUSSP à l'INED

$i = 1,753 \cdot e^{0,1396 \cdot L - 0,001872 \cdot L^2}$ → Une solution proposée par J. Bongaarts en 1982

$$TFT = C_m \times C_c \times C_a \times C_i \times TF \rightarrow \text{Modèle final}$$

Cours « Modèles de populations » par Alexandre Avdeev, IDUP (Master de démographie)

35

35

Changement de structure de facteurs de la fécondité au cours de la transition démographique (ou la transition de fécondité)

Phase 1 : TFT > 6,0

Phase 2 : TFT 4,5 – 6,0

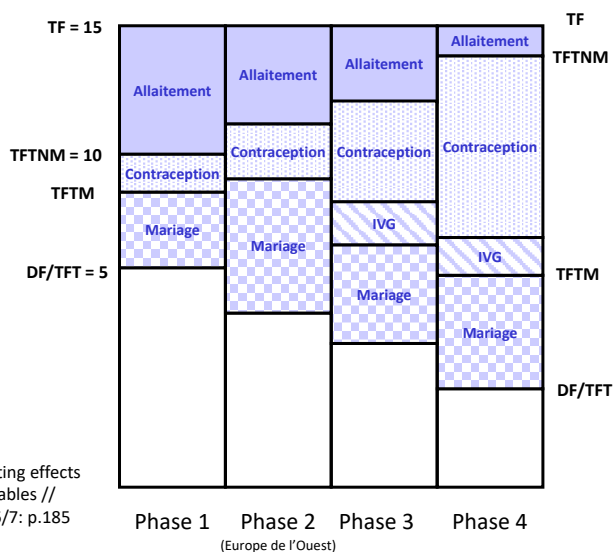
Phase 3 : TFT 3,0 – 4,5

Phase 4 : TFT < 3,0

+ une nouvelle phase de la fécondité extrêmement faible (lowest low fertility)

TFT < 1,9

J. Bongaarts (1982), The fertility inhibiting effects of the intermediate fertility variables // *Studies in Family Planning*, 13, 6/7: p.185



Cours « Modèles de populations » par Alexandre Avdeev, IDUP (Master de démographie)

36

36

Approche de la régression de l'utilisation de contraception sur les indicateurs de la fécondité

Bongaarts, John and Sharon Kirmeyer (1980) *Estimating of the impact of contraceptive prevalence on fertility: aggregated and age-specific version of a model*. The Population Council, Center for Policy Study Working Papers, No. 63 (December, 1980)¹⁾

TABLE 1. Estimates of selected fertility measures, the prevalence and use effectiveness of contraception and the index of postpartum infecundability for 22 developing countries.

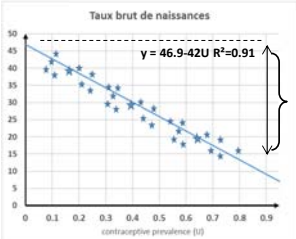
| Country | Year | Total Fertility Rate | Total Marital Fertility Rate | Total Marital Fertility Rate in Absence of Lactation | Prevalence of Contraceptive Use | Use-Effectiveness of Contraception** | Index of Postpartum Infecundability*** |
|--------------------|------|----------------------|------------------------------|--|---------------------------------|--------------------------------------|--|
| Bangladesh | 1975 | 6.34 | 7.43 | 13.78 | .08 | .82 | 0.539 |
| Colombia | 1976 | 4.57 | 7.91 | 9.41 | .39 | .84 | 0.841 |
| Costa Rica | 1976 | 3.69 | 6.46 | 7.06 | .64 | .86 | 0.905 |
| Dominican Republic | 1975 | 5.85 | 9.74 | 11.33 | .32 | .89 | 0.860 |
| Guatemala* | 1972 | 7.05 | 9.74 | 15.92 | .03 | .87 | 0.612 |
| Hong Kong | 1978 | 2.26 | 4.56 | 4.90 | .72 | .86 | 0.930 |
| Indonesia | 1976 | 4.69 | 6.64 | 11.51 | .26 | .87 | 0.577 |
| Jamaica | 1976 | 4.32 | 7.99 | 9.09 | .40 | .84 | 0.879 |
| Jordan | 1976 | 7.41 | 9.95 | 12.44 | .24 | .84 | 0.800 |
| Kenya | 1976 | 8.02 | 10.44 | 15.51 | .03 | .75 | 0.673 |
| Lebanon* | 1976 | 4.77 | 8.28 | 10.61 | .35 | .83 | 0.780 |
| Malaysia | 1974 | 4.76 | 7.84 | 8.74 | .33 | .85 | 0.897 |
| Mexico | 1976 | 5.73 | 9.40 | 11.18 | .29 | .86 | 0.841 |
| Nepal | 1976 | 6.37 | 7.48 | 13.60 | .02 | .94 | 0.550 |
| Pakistan | 1975 | 7.02 | 8.94 | 13.93 | .05 | .83 | 0.642 |
| Paraguay | 1976 | 4.57 | 7.14 | 8.12 | .54 | .90 | 0.879 |
| Peru | 1977 | 5.11 | 8.92 | 11.75 | .31 | .78 | 0.759 |
| Philippines | 1976 | 5.01 | 8.17 | 10.76 | .35 | .78 | 0.759 |
| Sri Lanka | 1975 | 3.53 | 6.88 | 11.32 | .32 | .84 | 0.608 |
| Syria | 1973 | 7.00 | 9.59 | 13.14 | .22 | .87 | 0.730 |
| Thailand | 1975 | 4.70 | 7.48 | 11.33 | .33 | .91 | 0.660 |
| Turkey | 1968 | 5.60 | 7.37 | 10.09 | .35 | .80 | 0.730 |

Source: See Appendix 1.
* Estimates refer to subnational units.
** Average values estimated from distributions of contraceptive methods and the following method specific effectiveness levels: sterilization 1.0, IUD 0.95, pill 0.90 and other 0.7, which are based on data from the Philippines; the only developing country with reliable estimates of method specific use effectiveness levels (see footnote 5).
*** See Appendix 2.

¹⁾Publication plus récente:
Bongaarts, John and Sharon Kirmeyer (1982) "Estimating of the impact of contraceptive prevalence on fertility: aggregated and age-specific version of a model". In A Hermalin and B Entwisle, eds., *The Role of Surveys in the Analysis of Family Planning Programs*, Ordina Editions, Liège, Belgium, 1982, pp. 381-408

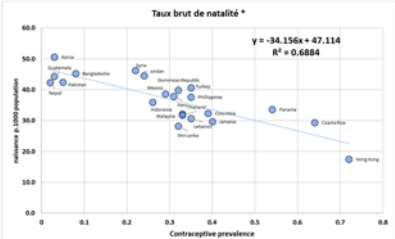
37

Régression des indicateurs de la fécondité sur la prévalence de la contraception (u)



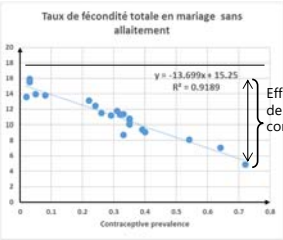
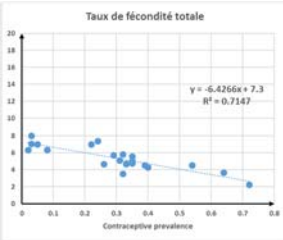
Effet de tous les facteurs réducteurs de la natalité (structure, nuptialité, contraception, avortement)

La corrélation est très forte, mais elle n'explique pas les effets des chaque facteurs



Graphique fictif par AAA à partir de l'équation de D.Nortman and E. Hofstatter, *Population and Family Planning Programs: Data Through 1978* (tenth edition), Population Council New York, 1980

* Graphique et estimation par AAA à partir des données de la Table 1 de Bongaarts et Kirmeyer (1980) et les TBN provenant des WWP, édition 2019



Effet réducteur de la contraception

38

Relation entre la fécondité et le recours à la contraception :

I. Modèle de régression agrégé

Taux brut de natalité (TBN)*

$$\text{TBN} = 46,9 - 42,0 \times U \quad R^2=0,91$$

* Estimated by D. Nortman and E. Hofstatter, *Population and Family Planning Programs: Data Through 1978* (tenth edition), Population Council New York, 1980

$$\text{TBN}^{**} = 46,23 - 28,86 \times U \quad R^2=0,61$$

* Estimation par AAA à partir des données de la Table 1 de Bongaarts, John and Sharon Kirmeyer (1980) et des données de WWP, édition 2019 (TBN).

Taux de fécondité totale (TFR)

$$\begin{aligned} \text{TFT} &= 7,3 - 6,42 \times U = R^2=0,72 \\ &= 7,3 \times (1 - 0,879 \times U) \end{aligned}$$

Taux de fécondité totale en mariage (TFRM)

$$\begin{aligned} \text{TFTM} &= 9,54 - 4,81 \times U \quad R^2=0,40 \\ &= 9,54 \times (1 - 0,504 \times U) \end{aligned}$$

On constate une très forte corrélation entre le recours à la contraception (U) et le niveau de natalité (TBN)

L'intersection / l'ordonnée d'origine (7,3) représente le niveau attendu de la fécondité naturel en absence de la contraception

La pente du droit (6,42, négative) caractérise la diminution du niveau associée avec l'augmentation de l'utilisation de la contraception

La pente relative (0,879) montre la diminution proportionnelle (une unité de U ne donne que 0,879 d'unité de diminution du niveau)

Taux de fécondité totale en mariage sans allaitement (TFRMA)

$$\begin{aligned} \text{TFTMA} &= 15,25 - 13,71 \times U \\ &= 15,25 \times (1 - 0,899 \times U) \end{aligned}$$

$R^2=0,92$

Sachant que $Cc = 1 - 1,18 \cdot u \cdot e$

que $\text{TFTMA} = 15,25 \times Cc$

et que $Cc = 1 - u \cdot e \cdot \frac{1}{f}$ où « f » – proportion de femmes fécondes

On déduit $1 - 0,899 \cdot u = 1 - u \cdot e \cdot \frac{1}{f} \Rightarrow \frac{e}{f} \approx 0,899$

Donc à partir de $f (\approx 0,85)$ il est possible d'estimer e (et inversement)

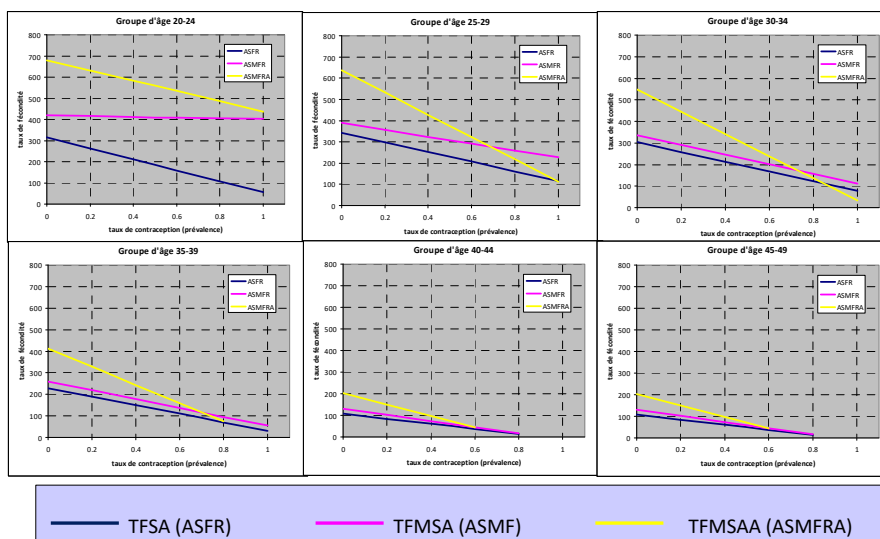
Cours « Modèles de populations » par Alexandre Avdeev, IDUP (Master de démographie)

39

39

Relation entre la fécondité et le recours à la contraception :

II. Modèles de régression par âge



Cours « Modèles de populations » par Alexandre Avdeev, IDUP (Master de démographie)

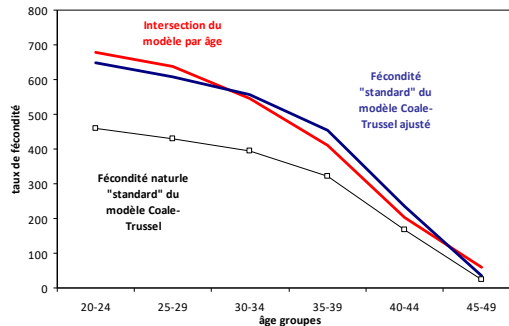
40

40

Résultats de régression pour le modèle par groupes d'âge

| | Groupes d'âge | Intersection (origine) | Pente | Pente relative | R ² |
|--|---------------|------------------------|-------|----------------|----------------|
| ASFR Taux de fécondité par âge | | | | | |
| | 20-24 | 315 | -260 | -0.825 | 0.52 |
| | 25-29 | 343 | -227 | -0.662 | 0.03 |
| | 30-34 | 304 | -227 | -0.747 | 0.69 |
| | 35-39 | 229 | -198 | -0.865 | 0.51 |
| | 40-44 | 107 | -117 | -1.093 | 0.55 |
| | 45-49 | 30 | -49 | -1.633 | 0.22 |
| ASMFR Taux de fécondité des mariages par âge | | | | | |
| | 20-24 | 419 | -17 | -0.041 | 0 |
| | 25-29 | 389 | -162 | -0.416 | 0.39 |
| | 30-34 | 337 | -224 | -0.665 | 0.64 |
| | 35-39 | 260 | -205 | -0.788 | 0.52 |
| | 40-44 | 130 | -143 | -1.100 | 0.56 |
| | 45-49 | 39 | -64 | -1.641 | 0.22 |
| ASMFR ajustés Taux de fécondité des mariages par âge ajustés | | | | | |
| | 20-24 | 679 | -241 | -0.355 | 0.6 |
| | 25-29 | 638 | -525 | -0.823 | 0.91 |
| | 30-34 | 547 | -514 | -0.940 | 0.9 |
| | 35-39 | 412 | -421 | -1.022 | 0.83 |
| | 40-44 | 204 | -267 | -1.309 | 0.71 |
| | 45-49 | 59 | -112 | -1.898 | 0.32 |

Comparaison des intersections des régressions et des niveaux de la fécondité naturelle standard du modèle de la fécondité de Coale-Trussel



$$TFAMa(20-24) = 679 - 241 \cdot u = 679 \cdot (1 - 0,620 \cdot u)$$

Sachant que le multiplicateur de l'utilisation de contraception

$$C_c = 1 - e \cdot u / f$$

On peut déduire l'efficacité moyenne de la contraception par âge, si le score de f est connu $\rightarrow e(20-24) / f(20-24) = 0,620$

Cours « Modèles de populations » par Alexandre Avdeev, IDUP (Master de démographie)

41

41

Application du modèle : estimation indirecte

$$1 - u \cdot e \cdot \frac{1}{f}$$

La comparaison des propos théoriques du modèle avec l'expression en parenthèses dans l'équation de régression montre que la pente relative de la régression correspond à un rapport « e/f »

$$e(20-24) / f(20-24) = 0.620$$

$$e(24-25) / f(24-25) = 0.823$$

$$e(30-34) / f(30-34) = 0.940$$

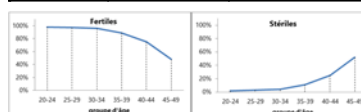
$$e(35-39) / f(35-39) = 1.022$$

$$e(40-44) / f(40-44) = 1.309$$

$$e(45-49) / f(45-49) = 1.898$$

Estimation de l'efficacité moyenne de l'utilisation de la contraception à partir des données sur les proportion de femmes fécondes par âge et des pentes relatives des régressions

| Groupe d'âge | Proportion de femmes fécondes | Pente relative de la régression | Efficacité estimée de l'utilisation de la contraception |
|--------------|-------------------------------|---------------------------------|---|
| | A | B | A x B |
| 20-24 | 0.98 | 0.620 | 0.61 |
| 25-29 | 0.97 | 0.823 | 0.80 |
| 30-34 | 0.96 | 0.940 | 0.90 |
| 35-39 | 0.89 | 1.022 | 0.91 |
| 40-44 | 0.75 | 1.309 | 0.98 |
| 45-49 | 0.48 | 1.898 | 0.91 |



Un problème majeur = estimation correcte des % de femmes fertiles / stériles

Cours « Modèles de populations » par Alexandre Avdeev, IDUP (Master de démographie)

42

42

Application du modèle : prévisions et projections

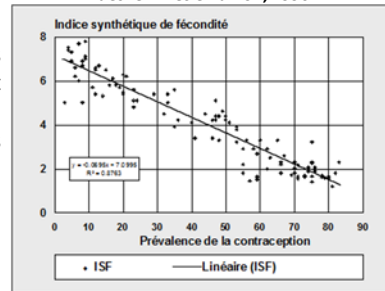
A partir de l'hypothèse que le niveau de fécondité des mariages ajustée à l'infécondité de la période puerpérale ne dépend que de l'utilisation de la contraception, on peut

considérer que : $\frac{TFTMA(2)}{TFTMA(1)} = \frac{1 - 0,899 \cdot u(2)}{1 - 0,899 \cdot u(1)}$ cf. diapo.39

Indice synthétique de fécondité selon la prévalence contraceptive des femmes en union, 1990

En supposant que tous les autres déterminants proches de la fécondité restent inchangés, on peut estimer la variation du niveau de la fécondité totale entre la période (1) et la période (2) en fonction des changements dans la pratique contraceptive puisque :

$$\frac{TFT(2)}{TFT(1)} = \frac{TFTMA(2) \cdot Cm \cdot Ca \cdot Ci}{TFTMA(1) \cdot Cm \cdot Ca \cdot Ci} = \frac{1 - 0,899 \cdot u(2)}{1 - 0,899 \cdot u(1)}$$



Source : Spectrum (Manuel Femplan)

Il est possible d'établir ainsi les objectifs des programmes de planification familiale visant la diminution de la fécondité (son ajustement à la fécondité désirée)

Cours « Modèles de populations » par Alexandre Avdeev, IDUP (Master de démographie)

43

43

Développement d'application du modèle : estimation d'efficacité des dépenses

Deux types des méthodes de contraception :

1. Méthodes « traditionnelles » (retrait, abstinence périodique)
 - Peu efficaces
 - Pas chères (que des frais pour l'éducation /formation des couple et du personnel)
2. Méthodes « modernes », ou instrumentales (préservatifs, pilules hormonales, implantés, stérilets, barrières chimiques etc.)
 - Très efficaces (mais l'efficacité est très variables d'une méthode à l'autre)
 - Très chères : sont nécessaires la production industrielle, le système de distribution, le personnel médical de haute qualification etc.

Problème : quelle(s) méthodes choisir pour la promotion dans le cadre d'un programme pour atteindre les objectifs et optimiser les dépenses ?

Pour + des détails : voir (lire le manuel et essayer lancer l'application avec des exemples)
le module « FemPlan » du système « Spectrum »

Cours « Modèles de populations » par Alexandre Avdeev, IDUP (Master de démographie)

44

44

Exemple d'estimation des efforts (coûts) pour un PPF

| Méthode | Efficacité | Unités par CAP | Age moyen des utilisateurs | Coût par utilisateur/acceptant |
|------------------------|------------|--------------------|----------------------------|--------------------------------|
| Préservatif | 81% | 120 | – | 20\$/util/an |
| Stérilisation féminine | 100% | – | 35,4 | 100\$/accep |
| Injectables | 100% | 4 | – | 20\$/util/an |
| DIU | 96% | 0,28 (3,5 ans/DIU) | – | 20\$/accep. |
| Pilule | 92% | 15 plaquettes | – | 15\$/util/an |
| Traditionnelle | 50% | – | – | 0\$ |

Notion de CYP (CAP):

Couple – Year (Années) – of (de) Protection
(quelle quantité des moyens contraceptifs il faut utiliser pour protéger un couple durant une année)

| | 1995 | 2020 |
|---|-----------|------------|
| Déterminants proches | | |
| Nombre de femmes en âge de procréer. | 8 400 000 | 19 200 000 |
| Pourcentage en union..... | 70% | 63% |
| Durée de l'infécondité post-partum..... | 16 mois | 13 mois |
| Taux total d'avortement | 0 | 0 |
| Stérilité involontaire..... | 2,2% | 2,2% |
| ISF..... | 6,6 | 5,1 |
| Prévalence de la contraception..... | 15% | – |
| Combinaison de méthodes | | |
| Préservatif | 9,3% | 12,9% |
| Stérilisation féminine | 7,8% | 11,0% |
| Injectable | 2,3% | 10,4% |
| DIU | 3,9% | 9,2% |
| Pilule | 14,0% | 28,0% |
| Traditionnelle | 62,7% | 28,5% |

| Changement dans la projection de base | Prévalence nécessaire en 2020 |
|---|-------------------------------|
| Projection de base | 34,4% |
| Pourcentage des FAP en union, constant | 42,4% |
| Infécondité post-partum, constante | 26,7% |
| Pourcentage des FAP en union et infécondité post-partum, constants | 35,5% |
| Combinaison de méthodes, constante | 42,3% |
| Combinaison de méthodes, pourcentage des FAP en union et infécondité post-partum, constants | 43,7% |

FAP – Femmes à l'Age de Procréer

Problème: estimer le financement (supplémentaires) nécessaire pour atteindre les objectifs de l'an 2020

Cours « Modèles de populations » par Alexandre Avdeev, IDUP (Master de démographie)

45

45

II. Modèles de distribution par âge de la nuptialité et de la fécondité

Problèmes:

- La désagrégation de la population (subdivision en groupes par âge et par sexe dans lesquels la mortalité, la fécondité et la migration sont plus ou moins *homogènes*) permet de d'obtenir une représentation précise d'un phénomène étudié, mais *la multiplication des séries de nombres est encombrante*.
- L'application de certaines méthodes d'analyse et de projection comme celle des composants demande des taux de fécondité, de mortalité et de migration par âge et par sexe pour chaque intervalle de la période de projection, par conséquent *des hypothèses se multiplient*.

Solution plausible – réduction de l'information d'entrée d'un modèle :

- Construire un modèle et d'associer, ou de mettre en correspondance, les distributions des taux par âge avec le nombre réduit (un, deux ou trois) des paramètres.
- Le modèle représente *un standard* pour les distributions des taux par âge (densité de risque), *basé sur l'expérience de plusieurs populations* pour lesquelles la qualité des données est bonne.

Cours « Modèles de populations » par Alexandre Avdeev, IDUP (Master de démographie)

46

46

1. La nuptialité par âge

(caractéristiques principales de la nuptialité et modèle relationnel de Coale-McNeil)

Lecture :

Coale, A.J. (1971) – “Age Patterns of Marriage”. *Population Studies*. Vol.25, no. 2, p.193-214

Coale, A.J. and D.R McNeil (1972) – “The Distribution by Age of the Frequency of First Marriage in a Female Cohort” *Journal of American Statistical Association*, Vol. 67, no. 340, p.743-749

John Hajnal (1953) – “Age at marriage and proportions marrying”, *Population Studies* vol. VII no.2, p.11-136

Coale A. (1977) – “The Development of New Models of Nuptiality and Fertility”, *Population* (French Edition) Vol. 32, La mesure des phénomènes démographiques: Hommage à Louis Henry (Sep., 1977), pp. 131-154

Rolland Pressat (1995) – *Eléments de démographie mathématique*, édition de l'AIDELF, 279 p.
(ISBN2-9509356-0-5; ISSN 1160-1531)

Nations Unies (1983) – *Manuel X Techniques indirectes d'estimation démographique*

http://unstats.un.org/unsd/demographic/standmeth/handbooks/Manuel_X-fr.pdf



Cours « Modèles de populations » par Alexandre Avdeev, IDUP (Master de démographie) 47

47

Changement historique de la nuptialité en Europe: « ligne de Hajnal » (par J.R.)



Source: http://en.wikipedia.org/wiki/Hajnal_line

La ligne de Hajnal tracée en rouge entre Saint Pétersbourg (Russie) et Trieste (Italie).

Les lignes bleues délimitent les zones avec la nuptialité universelle et précoce à l'ouest de la ligne de Hajnal

A transition around the sixteenth century from a norm of *early and universal marriage* towards a norm of *late marriage with a significant celibacy* was observed. Hajnal called this last norm the **"European marriage pattern"** (Hajnal, 1965). The main characteristics of that transition was a significant increase in the age at first marriage, especially for women, for whom in one century this age increased from around 20 years to more than 25. **"The uniqueness of the European pattern lies primarily in the high age at marriage of women rather than in a high age at marriage for men."** (Hajnal, 1965, p. 134).

Hajnal added that this transition affected only a part of European populations, those at the West of an imaginary line from Saint Petersburg to Trieste, and that the other part followed the early marriage norm until the beginning of the Twentieth century.

Hajnal, John (1965): European marriage pattern in historical perspective en D.V. Glass and D.E.C. Eversley, (eds.) *Population in History*, Arnold, Londres

Cours « Modèles de populations » par Alexandre Avdeev, IDUP (Master de démographie) 48

48

Nuptialité et structures familiales en Europe (propos recueillis par J.R.)

En Europe (de l'Ouest), l'homme devait retarder son mariage jusqu'à ce *qu'il puisse disposer de moyens de vie indépendants et suffisants pour faire vivre une famille*; dans les autres sociétés, (c'est-à-dire en Europe de l'Est) le jeune couple pouvait être intégré à une unité économique plus vaste, telle que *la famille étendue*.

Hajnal, John (1965). « European Marriage Patterns in Perspective ». In D. V. Glass & D. E. C. Eversley (Eds.), *Population in History. Essays in Historical Demography. Volume I: General and Great Britain* (pp. 101-143). New Brunswick (U.S.A.): Aldine Transaction

Utilisant des recensements conduits à travers l'Europe dans les années 1930, **John Hajnal** constate que la proportion de personnes qui se marient au cours de leur vie et l'âge auquel elles le font sont sensiblement différents dans les pays à l'est et à l'ouest d'une **ligne de Saint-Petersbourg à Trieste : mariage plus fréquent et plus précoce à l'est, plus rare et plus tardif à l'ouest** (page 191).

.....

A l'est les ménages sont plus complexes composés souvent de plusieurs familles, en particulier des familles de générations successives (familles de parents âgés et familles d'enfants adults); à l'ouest, la composition des ménages est plus simple, le plus souvent uni-familiaux (page 191).

Graziella Caselli, Jacques Vallin, Guillaume Wunsch, *Démographie: analyse et synthèse VIII. Observation, méthodes auxiliaires, enseignement et recherche*. Editions de l'INED

Cours « Modèles de populations » par Alexandre Avdeev, IDUP (Master de démographie)

49

49

Rappel

Estimation de l'âge moyen au premier mariage à partir des données d'un recensement

Problème : les données sur la nuptialité sont en général assez pauvres par rapport à celles sur la mortalité et fécondité. Nous ne disposons que rarement de l'informations détaillée sur la fréquence de premiers mariages et de la structure de la population par âge et état matrimoniale, sauf pour les années de recensement...

John Hajnal – "Age at marriage and proportions marrying", *Population Studies* vol. VII n°2 November 1953. p.11-136
'Singulate Mean Age at Marriage (SMAM)'

Le nombre d'années vécues en célibat par des personnes qui ne sont pas entrées dans le célibat définitif.

Soit ${}_n c_x = \frac{{}_n C_x}{{}_n P_x}$ est une proportion des célibataires dans l'intervalle d'âge entre x et $x+n$

et $c_{50} = \frac{{}_1 c_{49} + {}_1 c_{50}}{2}$ la proportion des célibataires à l'âge exact de 50 ans, (« le célibat définitif »)

On peut calculer l'âge moyen au premier mariage pour l'intervalle d'âge 15-50 ans, s'il n'y a pas des mariages avant l'âge de 15 ans :

$$\Rightarrow SMAM = \frac{\sum_{x=0}^{49} {}_1 c_x - 50 \cdot c_{50}}{1 - c_{50}} \Rightarrow SMAM = 15 + \frac{\sum_{x=15}^{49} {}_1 c_x - 35 \cdot c_{50}}{1 - c_{50}}$$

Sinon pour les groupes quinquennaux : $SMAM = \frac{5 \cdot \sum_{x=0}^{49} {}_5 c_x - 50 \cdot c_{50}}{1 - c_{50}}$ et $c_{50} = \frac{{}_5 c_{45} + {}_5 c_{50}}{2}$

Cours « Modèles de populations » par Alexandre Avdeev, IDUP (Master de démographie)

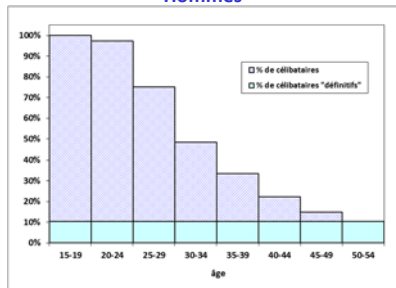
50

50

Illustration graphique de calcul de l'âge moyen de célibataire au mariage à partir des données de d'un recensement

France, population au 1 janvier 2000
(estimée à partir des données du recensement 1999)

Hommes



Calculs à partir des données quinquennales :

SMAM = 30,19

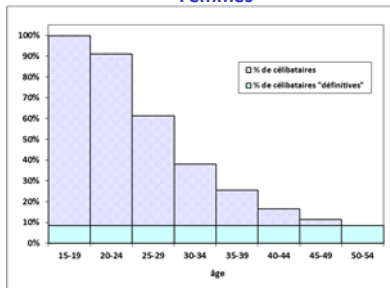
$c_{50} = 12,56\%$

Calculs à partir des données par année d'âge :

SMAM = 30,34

$c_{50} = 12,21\%$

Femmes



Calculs à partir des données quinquennales :

SMAM = 28,6

$c_{50} = 9,85\%$

Calculs à partir des données par année d'âge :

SMAM = 28,70

$c_{50} = 9,57\%$

Parfois il est très utile de calculer la durée moyenne de vie en mariage à l'âge procréateur de 15 à 50 ans correspondant à la durée moyenne sous le risque de grossesse (n_x – l'amplitude de l'intervalle d'âge $x, x+n$)

$$\bar{p} = \sum_{x=15}^{49} n_x \cdot \frac{n \cdot M_x}{n \cdot P_x} = 15,23 \quad \text{nombre moyen d'années vécues en mariage}$$

Cours « Modèles de populations » par Alexandre Avdeev, IDUP (Master de démographie)

51

51

Dynamique de la nuptialité d'une génération* en continue (démonstration de R. Pressat, EDM, p.51)

Soit

$C(x)$: fonction célibat (résultat d'interpolation entre les valeurs discrètes C_x)

$m(x)$: fonction mariage

$n(x)$: fonction risque (quotient)

$$\text{On définit : } \begin{cases} m(x) = \lim_{\Delta x \rightarrow 0} \frac{m(x, x + \Delta x)}{\Delta x} = \lim_{\Delta x \rightarrow 0} \frac{C(x) - C(x + \Delta x)}{\Delta x} = -C'(x) \\ n(x) = \lim_{\Delta x \rightarrow 0} \frac{m(x, x + \Delta x)}{\Delta x \cdot C(x)} = \frac{m(x)}{C(x)} = \frac{-C'(x)}{C(x)} \end{cases} \rightarrow \text{dérivée logarithmique}$$

Sachant que $C(x) = C(0) \cdot e^{-\int_0^x n(\xi) d\xi}$ on peut passer par intégration aux quantités discrètes :

$$m(x, x+1) = \int_x^{x+1} m(\xi) d\xi \quad \text{et} \quad {}_1n_x = 1 - e^{-\int_x^{x+1} n(\xi) d\xi}$$

On peut calculer l'âge moyen au premier mariage en divisant la somme des âges au mariage $\int_{\alpha}^{\beta} x \cdot m(x) dx$ par le nombre de $C(\alpha) - C(\beta)$ premiers mariages dans l'intervalle (α, β) . Avec le recours à une intégration de la somme des âges par parties on obtient

$$\int_{\alpha}^{\beta} x \cdot m(x) dx = -\int_{\alpha}^{\beta} x \cdot C'(x) dx = [-x \cdot C(x)]_{\alpha}^{\beta} + \int_{\alpha}^{\beta} C(x) dx = \alpha \cdot C(\alpha) - \beta \cdot C(\beta) + \int_{\alpha}^{\beta} C(x) dx$$

qu'on divise par $C(\alpha) - C(\beta)$ en faisant un recours à l'artifice

$$\alpha \cdot C(\alpha) - \beta \cdot C(\beta) = \alpha \cdot C(\alpha) - \alpha \cdot C(\beta) + \alpha \cdot C(\beta) - \beta \cdot C(\beta) = \alpha[C(\alpha) - C(\beta)] - C(\beta)(\alpha - \beta) + \int_{\alpha}^{\beta} C(x) dx$$

On obtient une formule

$$\text{Age moyen} = \alpha + \frac{\int_{\alpha}^{\beta} C(x) dx - C(\beta) \cdot (\beta - \alpha)}{C(\alpha) - C(\beta)}$$

équivalente à celle intuitive du SMAM

* - fictive ou réelle

Q.E.D.

Cours « Modèles de populations » par Alexandre Avdeev, IDUP (Master de démographie)

52

52

Quelques remarques à propos de la modélisation de la nuptialité

- L'âge moyen au premier mariage est une caractéristique importante, mais elle n'est pas suffisante pour dresser un image de la nuptialité.
- Autres caractéristiques cruciales :
 - le célibat définitif, qui n'a pas d'influence sur l'âge moyen au (premier) mariage
 - l'âge du départ (quand la nuptialité commence à différer du zéro)
 - la dissymétrie de la densité des mariages selon l'âge
 - la concentration de la densité des mariages autour de la tendance centrale
- Toutes ces caractéristiques ne permettent que voir la variation de la nuptialité
- Trois questions suivantes s'imposent :
 - Est-ce dans toutes les populations les courbes de la nuptialité par âge (densité de mariage/de risque) se ressemblent ?
 - Est-ce que les données longitudinales (nuptialité de générations) donnent le même résultat que celles transversales (nuptialité des générations fictives) ?
 - Est-ce que la fonction de risque de la primo nuptialité suit, elle aussi, un schéma universel ?

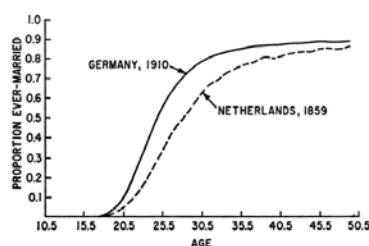
Cours « Modèles de populations » par Alexandre Avdeev, IDUP (Master de démographie)

53

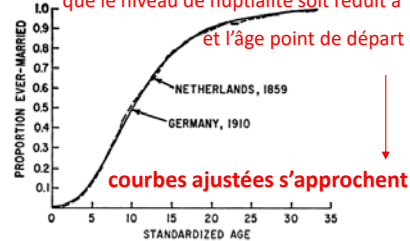
53

Question 1 : Est-ce dans toutes les populations les courbes de la nuptialité par âge se ressemblent ? (courbes sont-elles topologiquement similaires/équivalentes)

Courbes empiriques sont variées

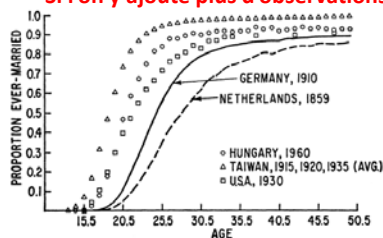


→ si deux axes sont standardisés
que le niveau de nuptialité soit réduit à 1 ;
et l'âge point de départ = 0



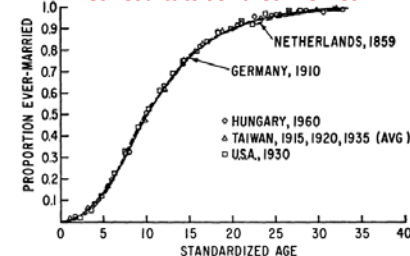
courbes ajustées s'approchent

Si l'on y ajoute plus d'observations



Source: Coale, 1971, p.194

les résultats sont les mêmes



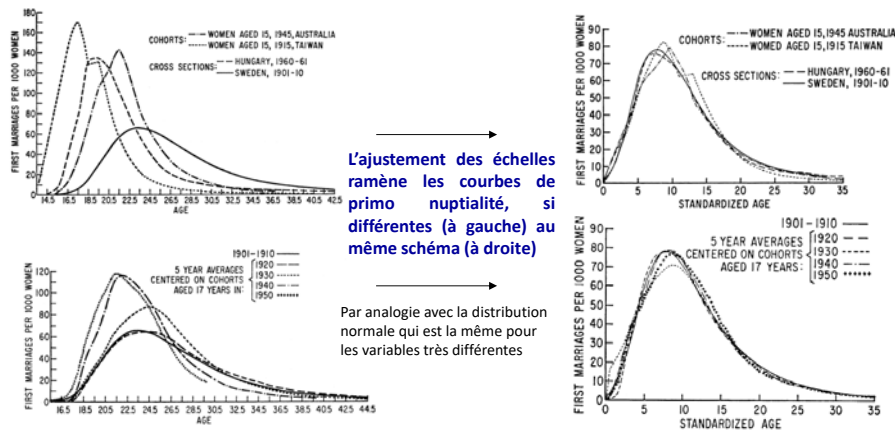
Apparemment, c'est « OUI », les observations historiques en font la preuve

Cours « Modèles de populations » par Alexandre Avdeev, IDUP (Master de démographie)

54

54

Question 2 : Est-ce que les données longitudinales donnent le même résultat que celles transversale ?



"The most puzzling feature of the common pattern of first-marriage frequencies is its very prevalence. We have seen evidence of the same basic curve of first marriages in cohorts that marry early and cohorts that marry late, in cohorts in which marriage is virtually universal, and in cohorts in which one-quarter remain single. Moreover, the uniform age structure of nuptiality occurs in societies in which most marriages are arranged by families with little regard for the preference of bride and groom, and in societies in which marriages typically result from the self-selection of mutually preferred partners". (A. Coale, 1971, p.203)

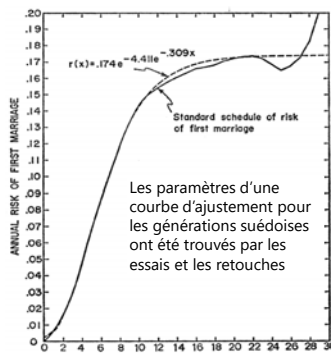
Cours « Modèles de populations » par Alexandre Avdeev, IDUP (Master de démographie)

55

55

Question 3 : Est-ce que la fonction de risque de la primo nuptialité suit, elle aussi, un schéma universel ?

Le risque de mariage (sortie du célibat) pourrait être défini comme le taux de mariage par âge des personnes éligibles pour le premier mariage (les célibataires). Il s'agit donc des taux de première catégorie.



$$(F1) \quad r^s(x) = 0,174 \cdot e^{-4,411 \cdot e^{-0,309 \cdot x}}$$

la formule empirique de la nuptialité « standard » (densité des premiers mariage en Suède, 1965-1969)

Pour que cette formule soit universelle il faudrait

- 1) y introduire un paramètre qui gère la vitesse relative de la nuptialité par rapport à un standard et
- 2) ajuster l'âge initial

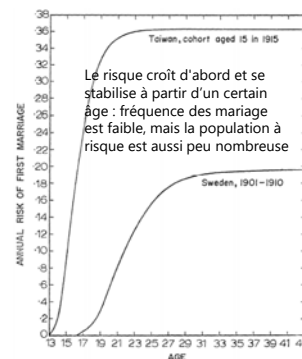
Soit

k – la vitesse relative, si $k=1$ le risque de mariage dans la population croît avec la même vitesse que dans la population de référence:

$$\kappa = \frac{\beta - \alpha}{\beta' - \alpha'}$$

$(a - a_0)$ – la distance entre l'âge initial (a_0) et l'âge au mariage (a)

$$r(a) = \frac{0,174}{k} \cdot e^{-4,411 \cdot e^{-0,309 \cdot \left(\frac{a-a_0}{\kappa}\right)}} \quad (F2)$$



Cours « Modèles de populations » par Alexandre Avdeev, IDUP (Master de démographie)

56

56

La nuptialité par âge (modèle relationnel de Coale-McNeil)

Idée: la primo-nuptialité par âge dérive d'un schéma standard (de la « nuptialité naturelle »)

la formule empirique de la nuptialité « standard » (densité des premiers mariages en Suède, 1865-1869)

$$g^s(x) = 0,19465 \cdot e^{-0,174 \cdot (x-6,06)} \cdot e^{-0,288 \cdot (x-6,606)} \quad (F3)$$

En 1972, A. Coale et D. McNeil ont démontré que cette fonction de densité (F3) est une bonne approximation de la fonction du risque (F2) voir diapo. précédente

Modèle relationnel :

$$G(a) = \Theta \cdot G^s(a) \cdot \left(\frac{a - a_0}{\kappa} \right)$$

- G(a) – la proportion de non célibataires à l'âge a dans la population observée
- $G^s(a)$ – la proportion de non célibataires à l'âge a parmi celles destinées à se marier dans la population de référence (standard)
- a_0 – âge de début de la nuptialité ($\sim 1\%$ de femmes se marient)
- κ – la vitesse de la nuptialité (combien d'années de la nuptialité de la population observée correspondent à une année de la nuptialité standard)
- Θ – le facteur d'échelle représentant la proportion définitive de non célibataire ($\Theta = 1 - C$ où C est le célibat définitive)

Cours « Modèles de populations » par Alexandre Avdeev, IDUP (Master de démographie)

57

57

Application du modèle de Coale-McNeil

En paramétrant ainsi la formule F3, on obtient :

$$g(a) = \frac{0,19465 \cdot \Theta}{\kappa} \cdot e^{\frac{-0,174}{\kappa} \cdot (a - a_0 - 6,06 \cdot \kappa)} \cdot e^{\frac{-0,288}{\kappa} \cdot (a - a_0 - 6,606 \cdot \kappa)}$$

Estimation de κ

$$\mu = \int_0^{\infty} a \cdot g(a) da = a_0 + 11,37 \cdot \kappa$$

μ - âge moyen au premier mariage (SMAM en l'occurrence)

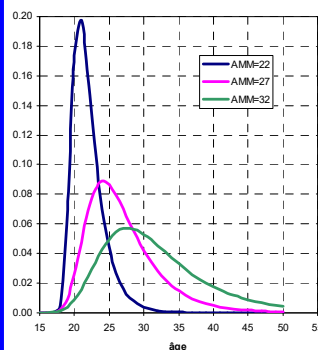
$$\text{donc } \kappa = \frac{\mu - a_0}{11,37}$$

et aussi la variance des âge au mariage soit :

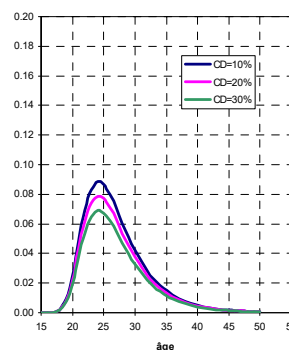
$$\sigma^2 = \int_0^{\infty} (a - \mu)^2 \cdot g(a) da = 43,34 \cdot \kappa$$

Illustration: Changement de la densité des premiers mariages en fonction de niveau du célibat définitif et de l'âge moyen de primo-nuptialité

1. Célibat définitif (CD) = 10%
 $a_0 = 18$



2. Age moyenne au mariage (AMM)=27; $a_0 = 18$



Cours « Modèles de populations » par Alexandre Avdeev, IDUP (Master de démographie)

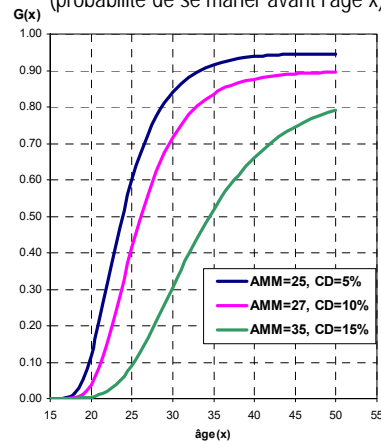
58

58

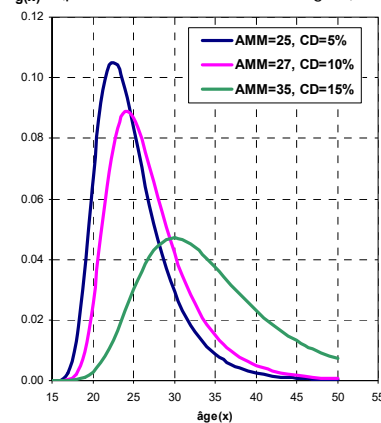
Application du modèle de Coale-McNeil pour la projection:

Divers scénarios des changements de la nuptialité appliqués à la projection.

Distribution des premiers mariages
(probabilité de se marier avant l'âge x)



Densité des premiers mariages
(probabilité de se marier à l'âge x)



AMM – âge moyen au premier mariage; CD – célibat définitif (proportion de célibataire à l'âge 50 ans)

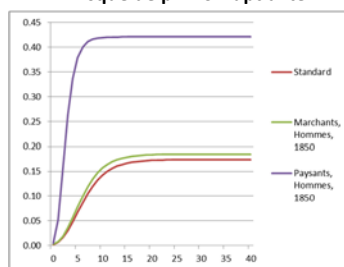
Cours « Modèles de populations » par Alexandre Avdeev, IDUP (Master de démographie)

59

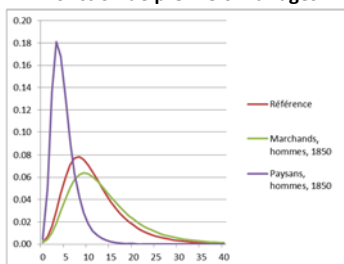
59

Application aux études historiques : modélisation de la nuptialité des catégories sociale en Russie au 19^e siècle*

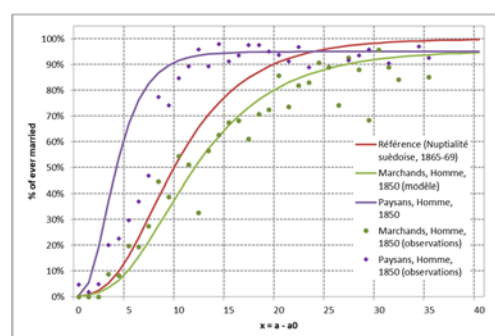
Risque de primo-nuptialité



Fonction de premiers mariages



Comparaison des données empirique avec les résultat de la modélisation



Les résultats de la modélisation sont plutôt satisfaisants surtout pour les commerçants moscovites et moins bons pour les paysans qui se mariaient assez tôt et dans l'intervalle assez court

* - A. Avdeev, I. Troitskaia (2016) "Family Structures and Marriage Models in Moscow and its Suburbs in the First Half of the 19th Century" // Papers presented on 41st Annual Meeting of the Social Science History Association, Chicago, 2016

Cours « Modèles de populations » par Alexandre Avdeev, IDUP (Master de démographie)

60

60

2. Fécondité par âge

- Ajustement analytique de la fonction fécondité
- Modèle basé sur un calendrier type de Coale-Trussel
- Modèle relationnel de W.Brasse

Lecture :

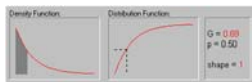
Coale, A.J. (1974) – “Model Fertility Schedules: Variations in The Age Structure of Childbearing in Human Populations”. *Population Index*, Vol. 40, No. 2 (Apr., 1974), pp. 185-258

Nations Unies (1981) – Manual X *Téchniques indirectes d'estimations démographiques* Série “Etudes démographiques” N°81. ST/ESA/SER.A/81

Rolland Pressat (1995) – *Éléments de démographie mathématique*, édition de l'AIDELF, 279 p. (ISBN2-9509356-0-5; ISSN 1160-1531)



Ajustement d'un distribution avec la fonction Gamma dans le système « Statistica »



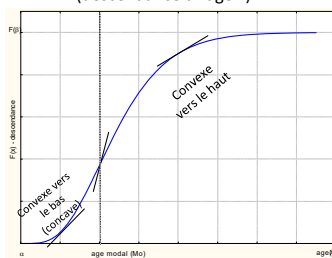
Cours « Modèles de populations » par Alexandre Avdeev, IDUP (Master de démographie)

61

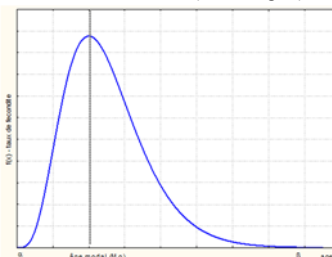
61

Approche mathématique de la fécondité par âge

Fonction de distribution
(descendance à l'âge x)



Fonction de densité (taux à l'âge x)



Soit α – âge de début de la fécondité

β – âge de fin de la fécondité

$F(x)$ – la descendance à l'âge x (fonction descendance)

Alors la fonction fécondité :

$$f(x) = \lim_{\Delta x \rightarrow 0} \frac{F(x + \Delta x) - F(x)}{\Delta x} = F'(x)$$

la fonction descendance :

$$F(x) = \int_{\alpha}^x f(\xi) d\xi$$

On peut aussi imaginer que $f(x) = F(\beta) \cdot \varphi(x)$

où $\varphi(x)$ est une fonction du calendrier $\int_{\alpha}^{\beta} \varphi(x) dx = 1$

Les observations empiriques nous apprennent que la fonction de fécondité est (pratiquement) toujours unimodale (distribution avec un seul point d'inflexion) et légèrement étalée vers la droite dans la plupart des cas.

La description se fait avec des paramètres (population) ou des statistiques (échantillon) de la tendance centrale et de la forme

Cours « Modèles de populations » par Alexandre Avdeev, IDUP (Master de démographie)

62

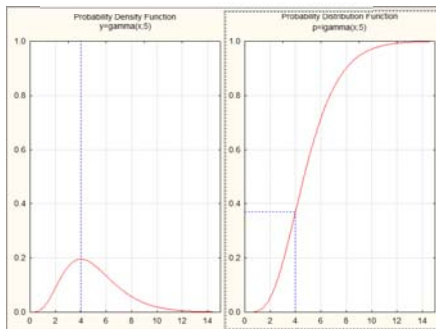
62

Ajustement analytique de la fécondité par âge

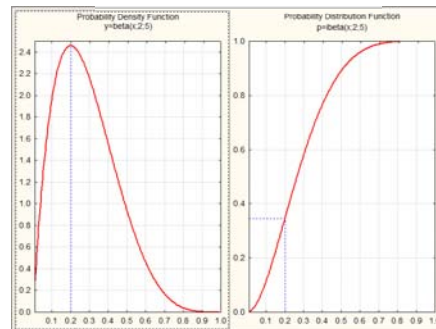
Question 1 : peut-on trouver une ou des fonctions analytiques (paramétriques) dont la distribution et la densité sont proches à celles de la fécondité (humaine) ?

Question 2 : si c'est « oui », est-il possible de trouver un rapport (association) stable entre les paramètres de cette (ces) fonction(s) et les caractéristiques sommaires de la fécondité, à savoir, avec la descendance finale, l'âge moyen à la maternité, âge modal, etc. ?

Loi (fonction) Gamma



Loi (fonction) Bêta



Cours « Modèles de populations » par Alexandre Avdeev, IDUP (Master de démographie)

63

63

Loi gamma :

$$\Gamma(a) = \int_0^{\infty} X^{a-1} \cdot e^{-X} dX, a > 0$$

On peut substituer λx ($\lambda > 0$) à X , alors la distribution sera définie par deux paramètres :

a – paramètre de forme

λ – paramètre de l'échelle

par ailleurs, si $a \in \mathbb{Z}_+ \rightarrow \Gamma(a+1) = a!$

$$\Gamma(a) = \int_0^{\infty} (\lambda \cdot x)^{a-1} \cdot e^{-\lambda \cdot x} d(\lambda x)$$

en la divisant par $\Gamma(a)$ on obtient sa densité :

$$\gamma(x; a; \lambda) = \frac{\lambda^a}{\Gamma(a)} \cdot x^{a-1} \cdot e^{-\lambda \cdot x},$$

avec les caractéristiques :

la moyenne : $E\gamma(a, \lambda) = \frac{a}{\lambda}$;

le mode : $X_{mod} = \frac{a-1}{\lambda}$; la dispersion : $\sigma^2 = \frac{a}{\lambda^2}$;

la dissymétrie : $\beta_1 = \frac{2}{\sqrt{a}}$ et l'aplatissement : $\beta_2 = \frac{6}{a}$

Si $a > 1$ et $X = x - \alpha$, où

x – âge de fécondité

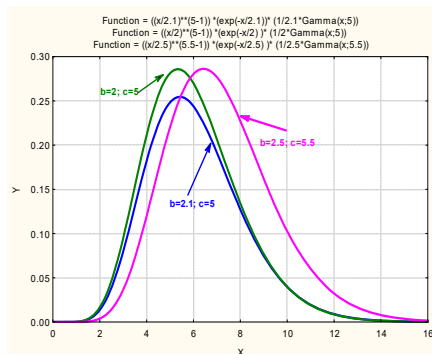
α – âge initial de la fécondité, et

β – âge final de la période féconde alors

$$f(x) = F(\beta) \cdot \frac{\lambda^a}{\Gamma(a)} \cdot (x - \alpha)^{a-1} \cdot e^{-\lambda(x-\alpha)} \quad a > 1, \lambda > 0$$

Propriété important de la fonction gamma :

$$\sum_i \Gamma(a_i, \lambda) = \Gamma(a_1 + a_2 + \dots, \lambda)$$



Cours « Modèles de populations » par Alexandre Avdeev, IDUP (Master de démographie)

Lecture: R. Pressat, 1995, p.57-70

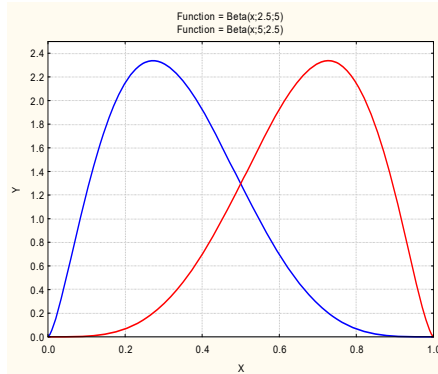
64

64

Fonction bêta (intégrale d'Euler de type I)

$$B(a, b) = \int_0^1 X^{a-1} \cdot (1-X)^{b-1} dX, \quad a, b > 0 \quad \text{avec la densité,} \quad \beta(a, b) = \frac{\Gamma(a+b)}{\Gamma(a) \cdot \Gamma(b)} \cdot X^{a-1} \cdot (1-X)^{b-1}, \quad 0 \leq X \leq 1$$

où a et b sont les paramètres de la position et de la forme avec les caractéristiques :



$$\text{moyenne : } E\beta(a, b) = \frac{a}{a+b}$$

$$\text{mode : } X_{\text{mod}} = \frac{a-1}{a+b-1}$$

$$\text{dispersion : } \sigma^2 = \frac{a \cdot b}{(a+b)^2 \cdot (a+b+1)}$$

$$\text{dissymétrie : } \beta_1 = \frac{2 \cdot (a-b) \cdot \sqrt{a+b+1}}{(a+b+2) \cdot \sqrt{a \cdot b}}$$

aplatissement :

$$\beta_1 = \frac{3 \cdot (a+b+1) \cdot [2 \cdot (a+b)^2 + a \cdot b \cdot (a+b-6)]}{a \cdot b \cdot (a+b+2) \cdot (a+b+3)}$$

pour introduire l'âge de fécondité il faut substituer à $X = \frac{x-\alpha}{\beta-\alpha}$ alors on obtient :

$$f(x) = F(\beta) \cdot \frac{\Gamma(a+b)}{\Gamma(a) \cdot \Gamma(b)} \cdot \frac{(x-\alpha)^{a-1} \cdot (\beta-x)^{b-1}}{(\beta-\alpha)^{a+b-1}} \quad \text{où } 1 < a < b$$

Cours « Modèles de populations » par Alexandre Avdeev, IDUP (Master de démographie)

65

65

Estimation des paramètres de fonction Γ et β à partir des observations

| | Fonction gamma | Fonction beta | Rappel de formules statistiques |
|---------------------------|--|--|--|
| moyenne $\mu(X)$ | $\frac{a}{\lambda}$ | $\frac{a}{a+b}$ | $m(x) = \sum_{x=\alpha}^{\beta} (x+0,5 \cdot n_x) \cdot \frac{f_x}{\sum_{x=\alpha}^{\beta} n_x f_x}$ |
| variance $\sigma^2(X)$ | $\frac{a}{\lambda^2}$ | $\frac{a \cdot b}{(a+b)^2 \cdot (a+b+1)}$ | $\sigma_x^2 = m(x^2) - [m(x)]^2$ |
| 1 ^{er} paramètre | $a = \frac{\mu^2(x)}{\sigma^2(x)}$ | $a = \frac{[1-\mu(x)] \cdot \mu^2(x)}{\sigma^2(x)} - \mu(x)$ | |
| 2 nd paramètre | $\lambda = \frac{\mu(x)}{\sigma^2(x)}$ | $b = \frac{[1-\mu(x)]^2 \cdot \mu(x)}{\sigma^2(x)} - [1-\mu(x)]$ | |

Dans le cas de [la loi gamma](#)

$\mu(X) = m(x - \alpha) = m(x) - \alpha$: $m(x)$ étant l'âge moyen à la maternité et α - âge initial

$\sigma^2(X) = \sigma^2(x - \alpha) = \sigma^2(x)$ - variance d'âge à la maternité

Dans le cas de [la loi beta](#)

$\mu(X) = m\left(\frac{x-\alpha}{\beta-\alpha}\right) = \frac{m(x)-\alpha}{\beta-\alpha}$: $m(x)$ étant l'âge moyen à la maternité et β - âge terminal

$\sigma^2(X) = \sigma^2\left(\frac{x-\alpha}{\beta-\alpha}\right) = \frac{\sigma^2(x)}{(\beta-\alpha)^2}$: $\sigma^2(x)$ étant la variance d'âge à la maternité

Cours « Modèles de populations » par Alexandre Avdeev, IDUP (Master de démographie)

66

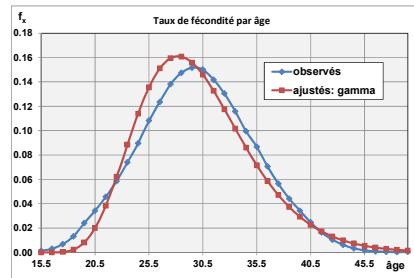
66

Exemple d'application 1a :

| | A | B | C | D | E | F | G |
|----|-------------|----------------|----------|--------------------|---------------------------------|-----------------------------------|--------|
| 1 | France 2010 | | | | | | |
| 2 | x | x _i | observés | x _i *fx | x _i ² *fx | x _i -15 ajustés: gamma | fx |
| 3 | 15 | 15.5 | 0.0014 | 0.021 | 0.327 | 0.5 | 0.0000 |
| 4 | 16 | 16.5 | 0.0030 | 0.049 | 0.804 | 1.5 | 0.0000 |
| 5 | 17 | 17.5 | 0.0068 | 0.118 | 2.069 | 2.5 | 0.0004 |
| 6 | 18 | 18.5 | 0.0132 | 0.245 | 4.531 | 3.5 | 0.0023 |
| 7 | 19 | 19.5 | 0.0241 | 0.470 | 9.157 | 4.5 | 0.0082 |
| 8 | 20 | 20.5 | 0.0343 | 0.702 | 14.195 | 5.5 | 0.0200 |
| 9 | 21 | 21.5 | 0.0456 | 0.981 | 21.101 | 6.5 | 0.0384 |
| 10 | 22 | 22.5 | 0.0585 | 1.315 | 29.599 | 7.5 | 0.0621 |
| 11 | 23 | 23.5 | 0.0739 | 1.737 | 40.828 | 8.5 | 0.0884 |
| 12 | 24 | 24.5 | 0.0895 | 2.193 | 53.726 | 9.5 | 0.1139 |
| 13 | 25 | 25.5 | 0.1062 | 2.759 | 70.360 | 10.5 | 0.1355 |
| 14 | 26 | 26.5 | 0.1234 | 3.271 | 86.685 | 11.5 | 0.1511 |
| 15 | 27 | 27.5 | 0.1381 | 3.799 | 104.473 | 12.5 | 0.1595 |
| 16 | 28 | 28.5 | 0.1474 | 4.201 | 119.726 | 13.5 | 0.1608 |
| 17 | 29 | 29.5 | 0.1516 | 4.474 | 131.973 | 14.5 | 0.1558 |
| 18 | 30 | 30.5 | 0.1502 | 4.580 | 139.687 | 15.5 | 0.1459 |
| 19 | 31 | 31.5 | 0.1416 | 4.461 | 140.513 | 16.5 | 0.1327 |
| 20 | 32 | 32.5 | 0.1304 | 4.239 | 137.776 | 17.5 | 0.1175 |
| 21 | 33 | 33.5 | 0.1158 | 3.879 | 129.943 | 18.5 | 0.1016 |
| 22 | 34 | 34.5 | 0.0995 | 3.434 | 118.468 | 19.5 | 0.0861 |
| 23 | 35 | 35.5 | 0.0867 | 3.076 | 109.204 | 20.5 | 0.0718 |
| 24 | 36 | 36.5 | 0.0705 | 2.574 | 93.946 | 21.5 | 0.0585 |
| 25 | 37 | 37.5 | 0.0564 | 2.114 | 79.276 | 22.5 | 0.0471 |
| 26 | 38 | 38.5 | 0.0441 | 1.698 | 65.373 | 23.5 | 0.0373 |
| 27 | 39 | 39.5 | 0.0342 | 1.352 | 53.422 | 24.5 | 0.0292 |
| 28 | 40 | 40.5 | 0.0247 | 1.000 | 40.489 | 25.5 | 0.0226 |
| 29 | 41 | 41.5 | 0.0164 | 0.682 | 28.295 | 26.5 | 0.0173 |
| 30 | 42 | 42.5 | 0.0105 | 0.447 | 18.983 | 27.5 | 0.0131 |
| 31 | 43 | 43.5 | 0.0062 | 0.270 | 11.730 | 28.5 | 0.0098 |
| 32 | 44 | 44.5 | 0.0033 | 0.146 | 6.490 | 29.5 | 0.0073 |
| 33 | 45 | 45.5 | 0.0017 | 0.078 | 3.543 | 30.5 | 0.0054 |
| 34 | 46 | 46.5 | 0.0009 | 0.041 | 1.896 | 31.5 | 0.0040 |
| 35 | 47 | 47.5 | 0.0004 | 0.020 | 0.942 | 32.5 | 0.0029 |
| 36 | 48 | 48.5 | 0.0002 | 0.010 | 0.473 | 33.5 | 0.0021 |
| 37 | 49 | 49.5 | 0.0004 | 0.020 | 1.009 | 34.5 | 0.0015 |
| 38 | F(β) | | 2.0132 | 60.4553 | 1871.2103 | | 2.0098 |
| 39 | | | | 30.0299 | 27.6884 | 5.2620 | |
| 40 | | | | moyenne | variance | écart-type | |
| 41 | | | | m(x) | σ ² (x) | | |
| 42 | | | m(x)-15 | 15.0299 | 27.6884 | | |
| 43 | a | | | 8.1586 | | 8.1586 | |
| 44 | λ | | | 0.5428 | | 1.8422 | |
| 45 | f(a) | | | 6950.055 | | | |

Formule dans la cellule « G3 » =C\$38*D\$44^D\$43/D\$45*F3^(D\$43-1)*EXP(-D\$44*F3)

Fonction gamma



$$f(x) = F(\beta) \cdot \frac{\lambda^a}{\Gamma(a)} \cdot (x - \alpha)^{a-1} \cdot e^{-\lambda(x-\alpha)}$$

$$\alpha = 15$$

$$a = [m(x) - \alpha]^2 / \sigma^2(x);$$

$$\lambda = [m(x) - \alpha] / \sigma^2(x)$$

NB : L'hypothèse sous-jacente sur la linéarité de la distribution dans chaque intervalle d'âge résulte en biais d'estimation

67

Exemple d'application 1b :

France 2010: Groupes quinquennaux

| A | B | C | D | E | F | G | H |
|----|-------|----------------|----------|--------------------|---------------------------------|-----------------------------------|--------|
| 55 | x | x _i | observés | x _i *fx | x _i ² *fx | x _i -15 ajustés: gamma | fx |
| 56 | 15-19 | 17.5 | 0.0484 | 0.847 | 14.819 | 2.5 | 0.0029 |
| 57 | 20-24 | 22.5 | 0.3018 | 6.791 | 152.788 | 7.5 | 0.3329 |
| 58 | 25-29 | 27.5 | 0.6688 | 18.393 | 505.810 | 12.5 | 0.7759 |
| 59 | 30-34 | 32.5 | 0.6375 | 20.720 | 673.391 | 17.5 | 0.5709 |
| 60 | 35-39 | 37.5 | 0.2919 | 10.946 | 410.465 | 22.5 | 0.2392 |
| 61 | 40-44 | 42.5 | 0.0611 | 2.597 | 110.362 | 27.5 | 0.0717 |
| 62 | 45-49 | 47.5 | 0.0036 | 0.172 | 8.165 | 32.5 | 0.0172 |
| 63 | F(β) | | 2.0132 | 60.4646 | 1875.7995 | | 2.0108 |
| 64 | | | | 30.0346 | 29.6912 | | |
| 65 | | | | moyenne | variance | | |
| 66 | | | | m(x) | σ ² (x) | | |
| 67 | | | m(x)-15 | 15.0346 | 29.6912 | | |
| 68 | a | | | 7.6130 | | | |
| 69 | λ | | | 0.5064 | | | |
| 70 | f(a) | | | 2333.8010 | | | |

$$f(x) = F(\beta) \cdot \frac{\lambda^a}{\Gamma(a)} \cdot (x - \alpha)^{a-1} \cdot e^{-\lambda(x-\alpha)}$$

NB : L'hypothèse sous-jacente sur la linéarité de la distribution dans chaque intervalle d'âge résulte en biais d'estimation (graphique en haut à droite)

Si nous pouvons préciser la localisation des centres de chaque intervalle d'âge, *les estimateurs s'approchent plus aux données* (graphique en bas à droite)

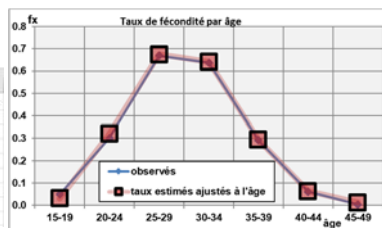
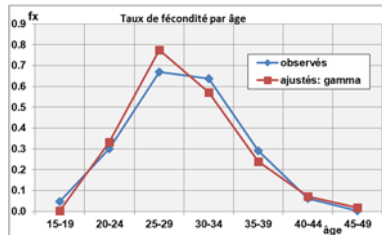
| | A | B | C | D |
|----|--------------------------|--------------------|------------------------------|---|
| 74 | x _i (précisé) | x _i -15 | taux estimés ajustés à l'âge | |
| 75 | 19 | 4.0 | 0.0307 | |
| 76 | 22.4 | 7.4 | 0.3205 | |
| 77 | 25.5 | 10.5 | 0.6744 | |
| 78 | 31.5 | 16.5 | 0.6420 | |
| 79 | 36.5 | 21.5 | 0.2939 | |
| 80 | 43 | 28.0 | 0.0627 | |
| 81 | 48.5 | 33.5 | 0.0127 | |
| 82 | | | 2.0368 | |

Ajustement GAMMA

Formule dans la cellule H57

$$=5*D$64*E$70*E$69/E$71*G$7^A(E$69-1)*EXP(-E$70*G$7)$$

Sinon = \$C\$64*\$5*LOI.GAMMA.N(F57;D\$69;(1/D\$70);FAUX)



68

Annexe : application de la loi gamma à ajustement (nouvelles fonctions dans l'Excel)

Une variable aléatoire X suit une loi Gamma de paramètres k et θ (strictement positifs), ce que l'on note aussi $X \sim \Gamma(k, \theta)$, si sa fonction de densité de probabilité peut se mettre sous la forme :

$$f_x(x) = \begin{cases} \frac{x^{k-1} \cdot e^{-\frac{x}{\theta}}}{\theta^k \cdot \Gamma(k)}, & x \geq 0 \\ 0, & x < 0 \end{cases} \quad \Gamma(k) \text{ étant la fonction Gamma d'Euler.} \quad (F1)$$

Avec l'espérance (moyenne) = $k \cdot \theta$ et la variance = $k \cdot \theta^2$

On utilise l'écriture alternative avec les paramètres α et β : $f(x, \alpha, \beta) = x^{\alpha-1} \cdot \frac{\beta^\alpha \cdot e^{-\beta \cdot x}}{\Gamma(\alpha)}$ pour $x > 0$

Notamment en MS Excel on trouve la fonction : **LOI.GAMMA.N(x,alpha,bêta,cumul)** avec

x – la valeur à laquelle on estime la densité de fréquence (l'âge réduit dans notre cas) ;

alfa – le paramètre de position (alias « k » de la F1, alias « a » dans l'écriture de Pressat) ;

beta – le paramètre de la forme (alias « θ » de la F1, **on voit que λ de Pressat = $\frac{1}{\beta}$**) ;

cumul – une instruction qui prend la valeur « vrai » pour renvoyer les fréquence cumulée vers x , ou « faux » pour envoyer la densité de fréquence de x

Dans l'exercice sur la diapositive 67 pour les calculs dans la colonne G3:G37 on peut utiliser la formule = $\$C\38 *loi.gamma.n(F3; $\$D\43 ;(1/ $\$D\44);faux)

Cours « Modèles de populations » par Alexandre Avdeev, IDUP (Master de démographie)

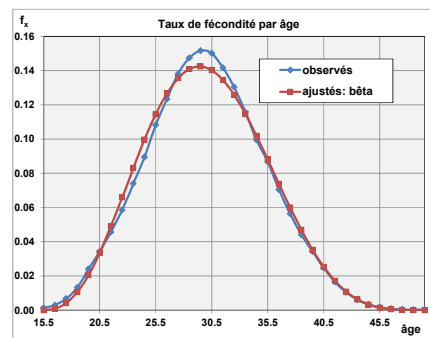
69

69

Exemple d'application 2a :

| France 2010 | | fx | | fx | | fx | |
|-------------|----------------|----------|--------------------|---------------------------------|--------------------|---------------|----|
| x | x _c | observés | x _c *fx | x _c ² *fx | x _c -15 | ajustés: bêta | fx |
| 15 | 15.5 | 0.0014 | 0.021 | 0.327 | 0.5 | 0.0000 | |
| 16 | 16.5 | 0.0030 | 0.049 | 0.804 | 1.5 | 0.0009 | |
| 17 | 17.5 | 0.0068 | 0.118 | 2.069 | 2.5 | 0.0041 | |
| 18 | 18.5 | 0.0132 | 0.245 | 4.531 | 3.5 | 0.0105 | |
| 19 | 19.5 | 0.0241 | 0.470 | 9.157 | 4.5 | 0.0204 | |
| 20 | 20.5 | 0.0343 | 0.702 | 14.395 | 5.5 | 0.0335 | |
| 21 | 21.5 | 0.0456 | 0.981 | 21.101 | 6.5 | 0.0490 | |
| 22 | 22.5 | 0.0585 | 1.315 | 29.599 | 7.5 | 0.0659 | |
| 23 | 23.5 | 0.0730 | 1.737 | 40.828 | 8.5 | 0.0831 | |
| 24 | 24.5 | 0.0895 | 2.193 | 53.726 | 9.5 | 0.0997 | |
| 25 | 25.5 | 0.1082 | 2.759 | 70.360 | 10.5 | 0.1144 | |
| 26 | 26.5 | 0.1234 | 3.271 | 86.685 | 11.5 | 0.1266 | |
| 27 | 27.5 | 0.1381 | 3.799 | 104.473 | 12.5 | 0.1356 | |
| 28 | 28.5 | 0.1474 | 4.201 | 119.726 | 13.5 | 0.1409 | |
| 29 | 29.5 | 0.1516 | 4.474 | 131.973 | 14.5 | 0.1424 | |
| 30 | 30.5 | 0.1502 | 4.580 | 139.687 | 15.5 | 0.1402 | |
| 31 | 31.5 | 0.1416 | 4.461 | 140.513 | 16.5 | 0.1345 | |
| 32 | 32.5 | 0.1304 | 4.239 | 137.776 | 17.5 | 0.1259 | |
| 33 | 33.5 | 0.1158 | 3.879 | 129.943 | 18.5 | 0.1148 | |
| 34 | 34.5 | 0.0995 | 3.434 | 118.468 | 19.5 | 0.1019 | |
| 35 | 35.5 | 0.0867 | 3.076 | 109.204 | 20.5 | 0.0880 | |
| 36 | 36.5 | 0.0705 | 2.574 | 93.946 | 21.5 | 0.0738 | |
| 37 | 37.5 | 0.0564 | 2.114 | 79.276 | 22.5 | 0.0599 | |
| 38 | 38.5 | 0.0441 | 1.698 | 65.373 | 23.5 | 0.0469 | |
| 39 | 39.5 | 0.0342 | 1.352 | 53.422 | 24.5 | 0.0353 | |
| 40 | 40.5 | 0.0247 | 1.000 | 40.489 | 25.5 | 0.0253 | |
| 41 | 41.5 | 0.0164 | 0.682 | 28.295 | 26.5 | 0.0171 | |
| 42 | 42.5 | 0.0105 | 0.447 | 18.983 | 27.5 | 0.0108 | |
| 43 | 43.5 | 0.0062 | 0.270 | 11.730 | 28.5 | 0.0063 | |
| 44 | 44.5 | 0.0033 | 0.146 | 6.490 | 29.5 | 0.0032 | |
| 45 | 45.5 | 0.0017 | 0.078 | 3.543 | 30.5 | 0.0014 | |
| 46 | 46.5 | 0.0009 | 0.041 | 1.896 | 31.5 | 0.0005 | |
| 47 | 47.5 | 0.0004 | 0.020 | 0.942 | 32.5 | 0.0001 | |
| 48 | 48.5 | 0.0002 | 0.010 | 0.473 | 33.5 | 0.0000 | |
| 49 | 49.5 | 0.0004 | 0.020 | 1.009 | 34.5 | 0.0000 | |
| F(p) | | 2.0132 | 60.455 | 1871.210 | | 2.0132 | |
| | | | 30.0299 | 27.6884 | | | |
| | | | moyenne | variance | | | |
| | | | m(x) | σ ² (x) | | | |
| | | | 0.42294 | 0.0226 | | | |
| | | | 4.2257 | | | | |
| | | | 5.6146 | | | | |
| | | | 9.8403 | | | | |
| | | | 8.0233 | | | | |
| | | | 63.0384 | | | | |
| | | | 253614.6000 | | | | |

Fonction bêta



$$f(x) = F(\beta) \cdot \frac{\Gamma(a+b)}{\Gamma(a) \cdot \Gamma(b)} \cdot \frac{(x-\alpha)^{a-1} \cdot (\beta-x)^{b-1}}{(\beta-\alpha)^{a+b-1}}$$

$$a = \{[1-m(X)] \cdot m(X)^2 / s^2(X) - m(X)\}$$

$$b = \{[1-m(X)]^2 \cdot m(X) / s^2(X) - [1-m(X)]\}$$

$$m(X) = [m(x) - \alpha] / (\beta - \alpha) \quad s^2(X) = \sigma^2(x) / (\beta - \alpha)^2$$

70

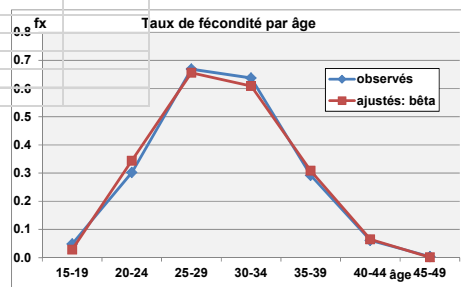
Exemple d'application 2b :

Groupes quinquennaux France 2010

Formule dans la cellule H58

=5*C\$65*D\$75/(D\$73*D\$74)*F58^(D\$70-1)*(50-B58)^(D\$71-1)/35^(D\$70+D\$71-1)

| A | B | C | D | E | F | G | H |
|----|--------|----------------|----------|----------------------|------------------------|--------------------|---------------|
| 56 | | | 5*fx | | | | 5*fx |
| 57 | x | x _c | observés | (x _c)*fx | (x _c)*2*fx | x _c -15 | ajustés: bêta |
| 58 | 15-19 | 17.5 | 0.0484 | 0.8468 | 14.8190 | 2.5 | 0.0282 |
| 59 | 20-24 | 22.5 | 0.3018 | 6.7906 | 152.7884 | 7.5 | 0.3438 |
| 60 | 25-29 | 27.5 | 0.6688 | 18.3931 | 505.8098 | 12.5 | 0.6559 |
| 61 | 30-34 | 32.5 | 0.6375 | 20.7197 | 673.3908 | 17.5 | 0.6089 |
| 62 | 35-39 | 37.5 | 0.2919 | 10.9457 | 410.4651 | 22.5 | 0.3085 |
| 63 | 40-44 | 42.5 | 0.0611 | 2.5967 | 110.3615 | 27.5 | 0.0649 |
| 64 | 45-49 | 47.5 | 0.0036 | 0.1719 | 8.1649 | 32.5 | 0.0010 |
| 65 | F(β) | | 2.0132 | 60.4646 | 1875.7995 | | 2.0112 |
| 66 | | | | 30.0346 | 29.6912 | | |
| 67 | | | | moyenne | variance | | |
| 68 | | | | m(x) | σ ² (x) | | |
| 69 | | | m(X) | 0.4296 | 0.0242 | | |
| 70 | a | | | 3.9132 | | | |
| 71 | b | | | 5.1966 | | | |
| 72 | a+b | | | 9.1098 | | | |
| 73 | r(a) | | | 5.3860 | | | |
| 74 | r(b) | | | 32.4070 | | | |
| 75 | r(a+b) | | | 51039.2700 | | | |



$$f(x) = F(\beta) \cdot \frac{\Gamma(a+b)}{\Gamma(a) \cdot \Gamma(b)} \cdot \frac{(x-\alpha)^{a-1} \cdot (\beta-x)^{(b-1)}}{(\beta-\alpha)^{a+b-1}}$$

$$a = \{[1-m(X)] \cdot m(X)^2 / s^2(X) - m(X)\}$$

$$b = \{[1-m(X)]^2 \cdot m(X) / s^2(X) - [1-m(X)]\}$$

71

Modèles de la fécondité par âge basés sur *le calendrier type* (modèles relationnels de Coale-Trussell et de W.Brass)

Henry, L. (1961) – “Some Data on Natural Fertility” *Eugenics Quarterly*, Vol. 8, no. 2, p.81-91

Coale, A.J. and J.Trussell (1974) – “Model Fertility Schedules: Variation in the Age Structure of Childbearing in Human Populations”, *Population Index*, Vol.40, no. 2, p.185-258

Brass W. (1978) – *The Relational Gompertz Model of Fertility by Age of Women*. London School of Hygiene and Tropical Medicine, (polycopie)

Booth, H. (1984) – “Transforming the Gompertz for Fertility Analysis: The Development of Standard for Relational Gompertz”, *Population Studies*, Vol. 32, no. 3, p.495-506

S'il n'y pas de fécondité hors mariage, alors:

$$f(a) = G(a) \cdot \phi(a) \quad \text{où } f(a) - \text{fonction taux de fécondité (densité)}$$

$G(a)$ – fonction proportion de femmes mariées (distribution)

$\phi(a)$ – fonction taux de fécondité en mariage (densité)

72

Modèle relationnel (semi-paramétrique) de Coale-Trussell pour la fécondité par âge

La base empirique: les taux de fécondité en mariage par âge dans 10 populations (de Louis Henry) en régime de la fécondité naturelle 43 populations avec la fécondité contrôlée

L'hypothèse théorique: la fécondité observée est une déviation de la fécondité naturelle sous l'influence du contrôle des naissances (planification familiale)

Modèle à deux paramètres et à deux standards

1) soit

$n(x)$ – taux de fécondité naturelle (**standard**)

$\phi(x)$ – taux de fécondité en mariage (observation)

M – **paramètre** du niveau de fécondité : $n_M(x) = M \cdot n(x) \rightarrow$ diminution proportionnelle aux taux de la fécondité naturelle


2) soit

$v(x)$ – (upsilon) ≤ 0 une déviation **standard** de la fécondité naturelle (la même pour plusieurs population) ayant un effet multiplicative décroissant ($v(x) \leq 0$) associé à l'âge sur la fécondité naturelle $\rightarrow e^{v(x)}$

m – **paramètre** du niveau de la limitation volontaire des naissances $\rightarrow e^{m \cdot v(x)}$

$$\phi(x) = M \cdot n(x) \cdot e^{m \cdot v(x)}$$

Cf . A.Coale and J.Trussell (1974) : <http://www.jstor.org/stable/2733910>



Ansley Johnson Coale
14 nov. 1917 – 2 nov. 2002),
عبدالله / عبد الله

Cours « Modèles de populations » par Alexandre Avdeev, IDUP (Master de démographie) 73

73

Estimation des paramètres du modèle Coale–Trussell: méthode simple

Fonctions standard empiriques du modèle

| Age = x | $n(x)$ | $v(x)$ |
|---------|--------|--------|
| 15-19 | 0.411 | 0 |
| 20-24 | 0.460 | 0 |
| 25-29 | 0.431 | -0.279 |
| 30-34 | 0.395 | -0.667 |
| 35-39 | 0.322 | -1.042 |
| 40-44 | 0.167 | -1.414 |
| 45-49 | 0.024 | -1.671 |
| ISF | 11.050 | |

$M = \frac{\phi(20-24)}{n(20-24)}$ le rapport de la fécondité observée à la fécondité naturelle à l'âge 20-24

$m = \frac{1}{5} \cdot \sum_{x=25-29}^{45-49} \frac{\ln\left(\frac{\phi(x)}{M \cdot n(x)}\right)}{v(x)}$ la moyenne arithmétique des déviations du standard $v(a)$ aux âge après 25 ans

sinon, on les estime comme les paramètres de la régression en utilisant la méthode des moindres carrés ordinaires (MCO)

Estimation de M et m avec la méthode de MCO

$\ln M = -0,275 \rightarrow M = 0,760 ; m = 0,189$

| Age | $\phi(x)$ | $v(x)$ | $\ln[\phi(x)/n(x)]$ |
|-------|-----------|--------|---------------------|
| 20-24 | 0.350 | 0 | -0.273 |
| 25-29 | 0.313 | -0.279 | -0.320 |
| 30-34 | 0.254 | -0.667 | -0.442 |
| 35-39 | 0.212 | -1.042 | -0.418 |
| 40-44 | 0.095 | -1.414 | -0.564 |

Interprétation:

Le niveau de la fécondité à l'âge 20-24 est 76% de la fécondité naturelle et la structure de la fécondité par âge se diffère peu de celle de la fécondité naturelle

Cours « Modèles de populations » par Alexandre Avdeev, IDUP (Master de démographie) 74

74

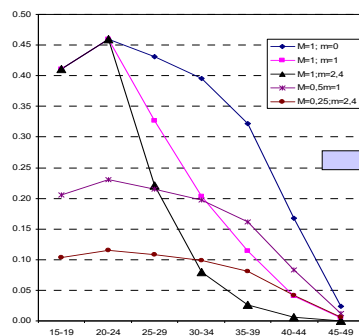
37

Application du modèle Coale–Trussell pour la projection et analyse :

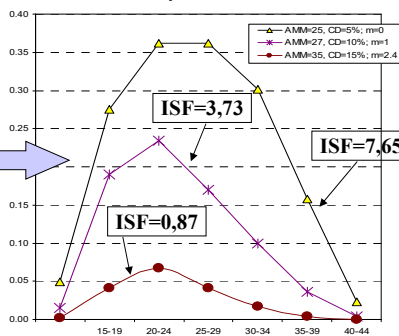
Soit $G(x)$ – fonction de la proportion de non célibataires à l'âge x
 $\phi(x)$ – fonction de la fécondité de non célibataire (fécondité « légitime »)
 $f(x)$ – fonction de (densité de) fécondité

$$f(x) = G(x) \cdot \phi(x)$$

Taux de fécondité en mariage à partir du modèle



Taux de fécondité à partir des modèles de nuptialité et de fécondité



Ce modèle présente bien le recours à la limitation délibérée des naissances (la parité) :

m -paramètre contrôle le recours à l'arrêt de fécondité (« stop-modèle » de limitation) ;

M -paramètre contrôle le recours aux changements du calendrier (limitation par espacement des naissances)

Cours « Modèles de populations » par Alexandre Avdeev, IDUP (Master de démographie)

75

75

Précisions des fonctions types dans le modèle de Coale – Trussell

Yu Xie and Ellen Efron Pimentel, "Age Patterns of Marital Fertility: Revising the Coale-Trussell Method" *Journal of the American Statistical Association*, Dec., 1992, Vol. 87, No. 420 (Dec., 1992), pp. 977-984

Données : Word Fertility Survey, 1974-1982, femmes de 15 à 50 ans, 42 pays

Méthode : estimation du nombre de naissances (B) à la place des taux (R) sachant que $B_{x,i} = R_{x,i} \cdot T_{x,i}$
 où $T_{x,i}$ - nombre de femmes exposées à l'âge x dans une population i

Donc l'équation d'origine (avec ces symboles) devient : $R_{x,i} = \frac{B_{x,i}}{T_{x,i}} = M_i \cdot n_x \cdot \exp(m_i \cdot v_x)$

L'objet d'étude s'exprime comme le suit : $\ln(B_{x,i}) = \ln(T_{x,i} \cdot n_x) + \ln M_i + m_i \cdot v_x$

Si les paramètres n_x et v_x sont parfaitement connus, et les naissances sont distribuées selon la loi de Poisson dans chaque intervalle d'âge et dans chaque populations, il possible d'estimer les paramètres M_i et m_i avec la méthode de maximum vraisemblance comme l'origine et la pente d'un équation log-linéaire

Résultats :

Une variation significative du paramètre v_x en fonction des méthodes d'estimation et un effet de l'hétérogénéité des population ont été notifiés

| Source of estimation | Age | | | | | |
|------------------------------------|-------|-------|-------|--------|--------|--------|
| | 20-24 | 25-29 | 30-34 | 35-39 | 40-44 | 45-49 |
| Estimates of the n_x parameters* | | | | | | |
| Coale and Trussell (1974) | .460 | .431 | .395 | .322 | .167 | .024 |
| Xie (1990) | .460 | .436 | .392 | .333 | .199 | .043 |
| Estimates of the v_x parameters* | | | | | | |
| Coale and Trussell (1974) | 0 | -.279 | -.677 | -1.042 | -1.414 | -1.671 |
| Xie (1991) ^b | 0 | -.320 | -.787 | -1.216 | -1.657 | -1.671 |
| Xie (1991) ^c | 0 | -.228 | -.533 | -.656 | -1.279 | -1.671 |
| Model A3, Table 1 | 0 | -.392 | -.904 | -1.437 | -1.671 | -.015 |
| Model B3, Table 1 | 0 | -.329 | -.713 | -1.194 | -1.671 | -1.082 |
| Averaging method ^d | 0 | -.335 | -.717 | -1.186 | -1.671 | -1.115 |

* Estimates of the v_x parameters are standardized to be 460 at ages 20-24.

^a Estimates of the v_x parameters are standardized to be 0 at ages 20-24 and to have a minimum of -1.671. See text for explanation.

^b The estimation was based on Coale and Trussell's (1974) controlled fertility data and their natural fertility standard.

^c The estimation was based on Coale and Trussell's (1974) controlled fertility data and Xie's (1990) natural fertility standard.

^d The averaging method is identical to that of Coale and Trussell (1974) now applied to the WFS country data. Xie's (1990) v_x estimates are used.

Cours « Modèles de populations » par Alexandre Avdeev, IDUP (Master de démographie)

76

76

Modèle relationnel gompertzien de William Brass¹⁾



William Brass,
05 sept 1921 - 11 nov 1999

- Réduire le nombre des paramètres de quatre (modèle de Coale-Trussell) à trois soit $F(x) \rightarrow$ Taux de fécondité cumulée à l'âge exacte x (la fonction de descendance) et $TF \rightarrow$ la descendance finale = $F(50)$

Idee de W. Brass: la structure de la fécondité atteinte à l'âge x (fonction du calendrier de naissances réduites) suit la loi de distribution de Gompertz

$$\frac{F(x)}{TF} = \frac{\sum_{a=15}^x f(a)}{\sum_{a=15}^{50} f(a)} = e^{A \cdot x} = \exp[A \cdot \exp(B \cdot x)] \quad \text{où } A \text{ et } B \text{ sont des constantes (paramètres) avec } A < 0$$

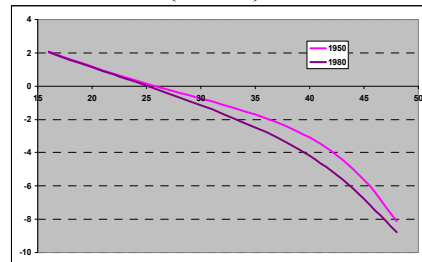
Avec quelques transformations on obtient : $\ln\left[\frac{F(x)}{TF}\right] = A \cdot \exp(B \cdot x) = \ln\left\{\ln\left[\frac{F(x)}{TF}\right]\right\} = \ln(-a) + B \cdot x$

Soit η (éta) – transformation par double logarithme de l'équation initiale, on peut écrire donc :

$\eta[F(x)] = \ln(-A) + B \cdot x \rightarrow$ une fonction linéaire
Par conséquent toutes les fonctions de calendrier représentent une transformation linéaire d'une seule fonction dite « standard »

$$\eta[F(x)] = \alpha + \beta \cdot \eta[F^S(x)]$$

1) John Cleland, William Brass 1921-1999, *Population Studies*, 2000, v.54, no 2, p.129-131
Bill Brass – Wikipedia https://en.wikipedia.org/wiki/Bill_Brass

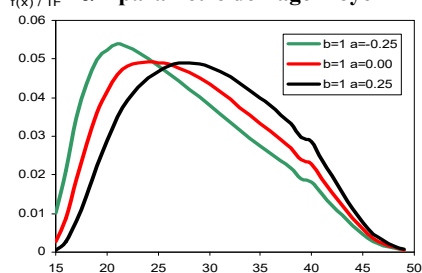


Cours « Modèles de populations » par Alexandre Avdeev, IDUP (Master de démographie) 77

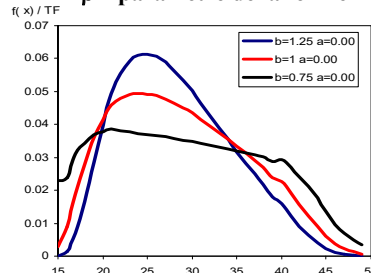
77

Application du modèle de la fécondité de W. Brass pour la projection:

α – paramètre de l'âge moyen



β – paramètre de la forme



Étapes de travail :

1. Trouvez la fécondité standard
2. Estimez les paramètres α et β pour voir leur tendance
3. Formulez les hypothèses sur les changements de α et β
4. Estimez la distribution de la fécondité par âge à partir des valeurs α et β
5. Formulez les hypothèses sur la dynamique de l'ISF
6. Calculez des taux de fécondité par âge pour la projection

Avantages :

1. Ne prend pas en considération la nuptialité : on peut travailler avec la fécondité par âge
2. Peut servir pour l'interpolation des taux de fécondité : passer des taux par groupe d'âge aux taux par année d'âge
3. Peut servir pour l'extrapolation des taux de fécondité : estimer les taux de fécondité par âge de cohortes qui n'ont pas encore atteint fin de l'âge fécond

Cours « Modèles de populations » par Alexandre Avdeev, IDUP (Master de démographie)

78

78

Autres approches à la modélisation de la fécondité

Revue dans Jane A. Menken "Biometric Models of Fertility", *Social Forces*, Vol. 54, No. 1 (Sep. 1975), pp. 52-65

Lecture :

Brass, W. 1968. "Note on Brass Method of Fertility Estimation." In William Brass, et al., *The Demography of Tropical Africa*. Princeton: Princeton University Press

Brass, W., and A. J. Coale. 1968. "Methods of Analysis and Estimation." In William Brass et al., *Demography of Tropical Africa*. Princeton: Princeton University Press.

Romaniuk, A. 1973. "A Three-Parameter Model for Birth Projections." *Population Studies* 27(November):467-70.

L'ajustement avec le polynôme de second degré (Brasse, 1968)

$$f(x) = C \cdot (x - x_0) \cdot (x_0 + 33 - x)^2$$

C – le paramètre du niveau ;
 x_0 – l'âge initiale de la fécondité ;
 x – l'âge ;
 $f(x)$ – le taux de fécondité

} convient pour les populations avec la fécondité assez élevée

Input :

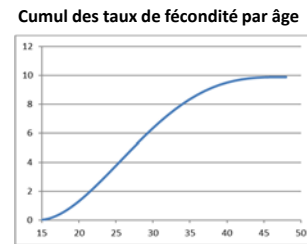
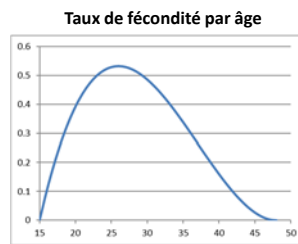
$C = 0,0001$

$x_0 = 15$

Output :

TFT = 9,875

AMF = 28,21



Voir aussi l'ajustement (interpolation des taux par groupe d'âge quinquennaux) avec le polynôme de 3^e degrés (Avdeev, Troitskaia <http://dmo.econ.msu.ru/Teaching/demo/index.htm>)

Cours « Modèles de populations » par Alexandre Avdeev, IDUP (Master de démographie) 79